



## شیمی کانی کلینوپیروکسن در سنگ‌های بازالتی اوسن گردنی آهوان، شمال شرق سمنان

مهدى رضائى كهخائى<sup>\*</sup>، آزاده قصابى فيض، حبیب الله قاسمی

دانشکده علوم زمین، دانشگاه شهرود، شهرود

(دریافت مقاله: ۹۶/۳/۵، نسخه نهایی: ۹۶/۶/۲۹)

چکیده: سنگ‌های آتشفشارانی و آذرآواری اوسن منطقه وسیعی را در گردنی آهوان در شمال شرق سمنان پوشانده‌اند. این سنگ‌ها بیشتر شامل بازالت، آندزیت، تراکی آندزیت، داسیت و ریولیت با بافت‌های هیالوبورفیری، پورفیری و گلومربورفیری هستند. سنگ‌های بازالتی از درشت‌بلورهای پلازیوکلاز و کلینوپیروکسن تشکیل شده‌اند. سرسیت، کائولینیت، کلسیت و کلریت نیز کانی‌های ثانویه این سنگ‌ها هستند. اندازه کلینوپیروکسن‌های موجود در این سنگ‌ها از متوسط تا ریز متغیر است. ترکیب آن‌ها از نوع آهن-منیزیم-کلسیم‌دار است و در میدان ترکیبی دیوپسید قرار می‌گیرند. کلینوپیروکسن‌های با اندازه متوسط، منطقه‌بندی معکوس نشان می‌دهند و بررسی تغییرات ترکیب شیمیایی آنها بیانگر این است که زون بینابین هسته و حاشیه، از عنصر Al و Fe به ترتیب در حالیکه از Ca و Mg غنی‌شدگی نشان می‌دهد. نمودارهای تعیین سری ماقمایی و محیط زمین‌ساختی مبتنی بر پایه ترکیب شیمیایی کلینوپیروکسن‌ها نشان دهنده تشکیل آنها از یک ماقمای قلیایی تا نیمه قلیایی و با مقدار آب ۰-۲-۵٪ و گریزندگی اکسیژن بالاست. همچنین، بررسی‌های دما-فشارسنجی نشان می‌دهند که این کلینوپیروکسن‌ها در فشارهای حدود ۱ کیلوبار و دمای ۱۲۳۰ درجه سانتی‌گراد متبلور شده‌اند.

واژه‌های کلیدی: شیمی کانی؛ دما-فشارسنجی؛ کلینوپیروکسن؛ سنگ‌های آتشفشارانی؛ گردنی آهوان؛ سمنان.

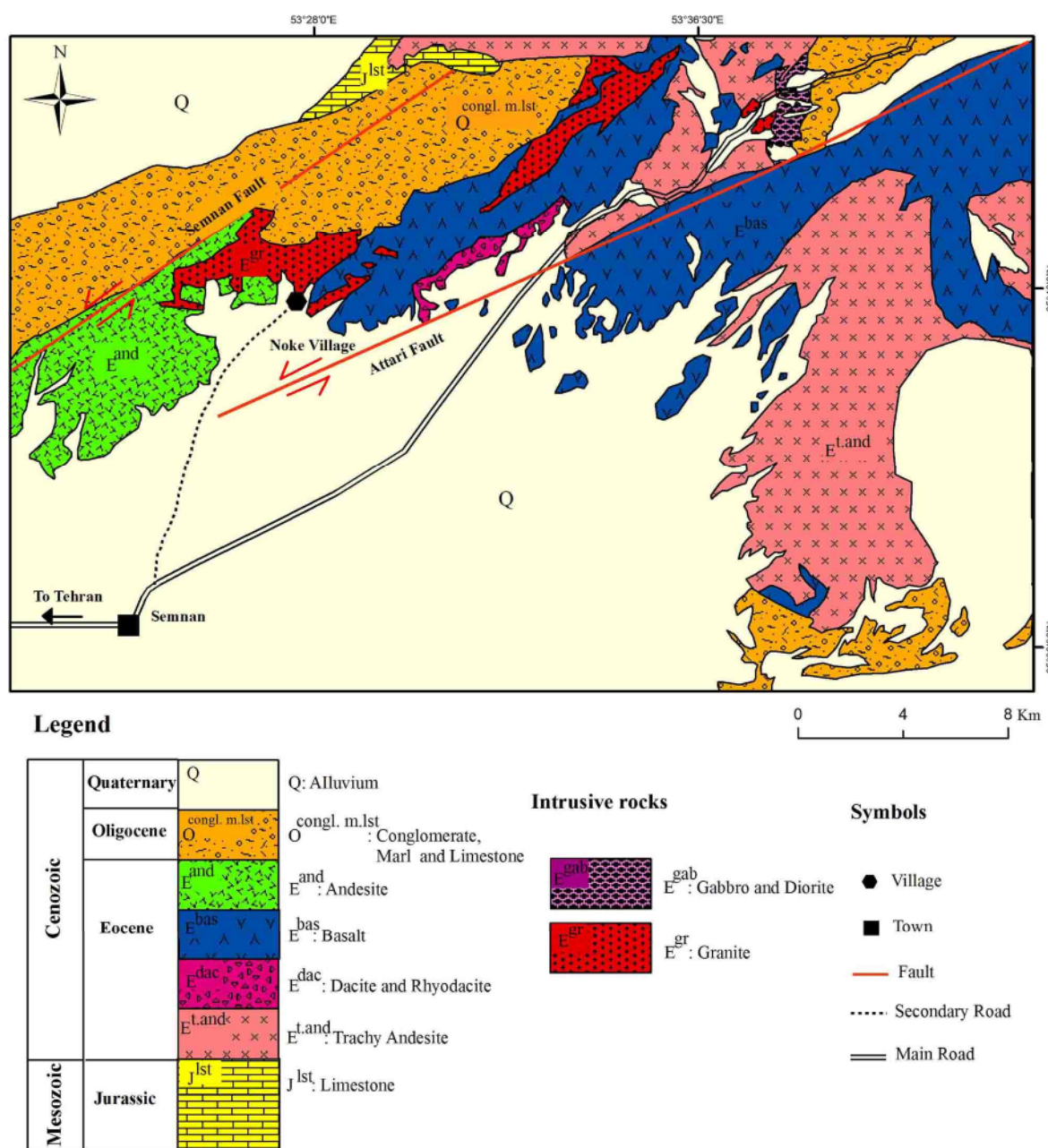
های آتشفشارانی گردنی آهوان دارای سن اوسن بوده و طیف ترکیبی گسترده‌ای از بازالت، آندزیت، داسیت و ریولیت دارند (شکل ۱).

کلینوپیروکسن، فراوان‌ترین و مهم‌ترین کانی موجود در سنگ‌های بازالتی گردنی آهوان است و بررسی ترکیب شیمیایی آن اطلاعات بسیار مهمی درباره خاستگاه ماقمایی و شرایط فیزیکو‌شیمیایی تبلور ماقما (از قبیل دما، فشار و گریزندگی اکسیژن) در اختیار ما قرار می‌دهد. از آنجا که تاکنون ترکیب شیمیایی کانی‌های سنگ‌های بازالتی منطقه، بررسی نشده است، در این پژوهش به بررسی ویژگی‌های شیمیایی کلینوپیروکسن‌های موجود در این بازالت‌ها با استفاده از ریزپردازشگر الکترونی (EPMA) خواهیم پرداخت. نخست ترکیب شیمیایی و تغییرات ترکیبی کانی‌های تشکیل‌دهنده

### مقدمه

گردنی آهوان در ۲۶ کیلومتری شمال شرق شهر سمنان، بین طول‌های جغرافیایی "۲۴° ۲۴' ۵۳" - ۵۳° ۴۲' ۲۵" و عرض‌های جغرافیایی "۴۱° ۴۱' ۳۵" - ۴۰° ۱۲" واقع است و از نظر تقسیمات زمین‌ساختی در مرز دو پهنه ساختاری البرز و ایران مرکزی قرار دارد. در این منطقه، در نتیجه فعالیت‌های ماقمایی پالئوزن، سنگ‌های آتشفشارانی و نفوذی حجیمی رخمنون یافته‌اند. پژوهش‌های متعددی در این منطقه انجام شده که شامل بررسی‌های سنگنگاری و زمین‌شیمی سنگ‌های آتشفشارانی [۱، ۲]، سنگ‌شناسی، زمین‌شیمی و پتانسیل کانه‌زایی سنگ‌های آذرین [۳]، بررسی‌های دگریختی واحدهای سنگی [۴] و تهیه نقشه زمین‌ساختی با مقیاس ۱:۲۵۰۰۰ [۵] بوده است. این بررسی‌ها نشان داد که سنگ

\*نویسنده مسئول، تلفن: ۰۲۳۳۲۳۹۶۰۰۷، نامبر: ۰۲۳۳۲۳۹۶۰۰۷، پست الکترونیکی: Rezaei@shahroodut.ac.ir



شکل ۱ نقشه زمین‌شناسی منطقه مورد بررسی تهیه شده براساس نقشه‌های زمین‌شناسی ۱:۱۰۰۰۰۰ سمنان [۷] و ۱:۱۰۰۰ جام [۸] و نمونه برداری صورت گرفته در این پژوهش.

پالئوسن (معادل با سازند فجن) رخنمون دارد (شکل ۲ الف). روی این واحد سنگی، لایه‌های از سنگ‌های آتشفسانی، آتشفسانی-رسوبی و رسوبی (تخریبی) یافت می‌شوند که دارای گستره سنی ائوسن هستند [۶]. این سنگ‌های آتشفسانی به صورت گدازه‌های ضخیم‌لایه یا گدازه‌های بین‌لایه‌ای رخنمون دارند و اغلب دارای ترکیب بازالتی، آندزی بازالتی و آندزیتی

با زالت‌های منطقه بررسی شده و در ادامه با استفاده از روش‌های مختلف دما-فشارسنجی، به بررسی شرایط دما و فشار تشکیل کلینوپیروکسن‌ها پرداخته می‌شود.

**زمین‌شناسی عمومی منطقه**  
در منطقه مورد بررسی، لایه‌هایی با ضخامت‌های متغیر از کنگلومراتی چندزایدی، ماسه‌سنگ سرخ رنگ و مارن ماسه‌ای

دیده می‌شود که نازک‌لایه هستند و با توجه به رنگ سفید خود و دانه‌ریز بودن از سنگ‌های مجاور خود تفکیک می‌شوند (شکل ۲ پ). در شمال گسل بزرگ سمنان نیز، توالی نسبتاً ضخیمی از سنگ‌های آتشفسانی-رسوبی و رسوبی رخنمون دارند، که با توجه به داشتن میکروفسیل‌های نومولیتی به ائوسن تعلق دارند [۵، ۶] و با توجه به ماهیت کلی این سنگ‌ها و نیز حضور لایه‌های توفیقی سبزرنگ به روشنی پیداست که این رسوبات ادامه توالی آتشفسانی-رسوبی ائوسن هستند (شکل ۱). روی این واحد آتشفسانی رسوبی، لایه‌های آهکی و آهکی ماسه‌ای نازک تا متسطلاً لایه به رنگ کرم، کرم مایل به سفید تا خاکستری مربوط به الیگوسن رخنمون دارند (شکل ۲ ت). گرهک‌های سیلیسی، یا افق‌های چرتی-سیلیسی از ویژگی‌های بارز این واحد هستند که گاه در اثر تنش‌های وارد شده، شکل بودینی به خود گرفته‌اند. این لایه‌های سنگی اغلب فاقد فسیل بوده و در ضمن به شدت چین خورده هستند [۵].

هستند. در برخی مناطق، ضخامت گدازه‌ها به بیش از ۱۰۰ متر می‌رسد ولی با توجه به اینکه بیشتر این گدازه‌ها در یک محیط رسوبی کم‌عمق تا نیمه عمیق تشکیل شده‌اند، سنگ‌های بازالتی آندزیتی با فراورده‌های آذرآواری مربوط به خود همراه هستند. این فراورده‌ها، از برخورد گدازه داغ با آب و انفجار و تخریب آن ایجاد شده‌اند. در بین مجموعه سنگ‌های آتشفسانی و آتشفسانی - رسوبی ائوسن، گاهی میان‌لایه‌هایی از آهک فسیلی نشانگر محیط نسبتاً کم‌عمق و گستره سنی ائوسن میانی است [۶]. واحدهای سنگی ائوسن توسط توده‌های آذرین نفوذی با طیف ترکیبی گابرو تا گرانیت قطع شده‌اند و در پی جایگزینی این توده‌ها، اسکارن‌زایی، متاسوماتیسم و دگرسانی گرمابی از نوع آرژیلیتی در سنگ‌های میزبان رخ داده است. روی واحدهای سنگی ائوسن، رسوبات توف سیلیتی سفید رنگی



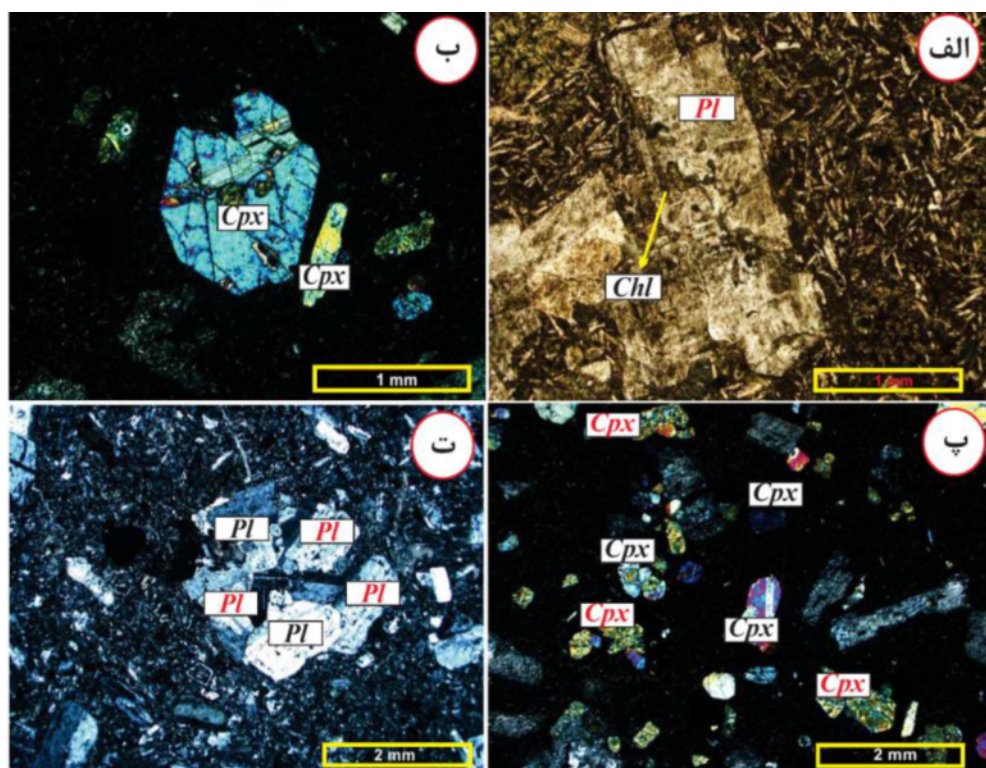
شکل ۲ تصاویری از واحدهای سنگی گردنه آهوان: (الف) میان‌لایه‌های ماسه‌سنگی و کنگلومراً ریز دانه تقریباً قائم که بصورت صخره‌ساز ظاهر شده‌اند. بخش‌های فروافتاده دارای ترکیب گل‌سنگی و سیلت‌سنگی قرمز رنگ هستند (جهت تصویر برداری به سمت غرب-جنوب غرب)، (ب) نمای نزدیکی از آهک‌های نومولیت‌دار ائوسن، (پ) نمایی از سنگ‌های توفی سیلت‌ستون سفیدرنگ (جهت تصویر برداری به سمت شمال) و (ت) مرز گسلی بارز بین آهک‌های الیگوسن و سنگ‌های آتشفسانی-رسوبی ائوسن (جهت تصویر برداری به سمت جنوب غرب).

میکرولیتی قرار دارد. بررسی سنگنگاری کلینوپیروکسن‌ها نشان می‌دهد که بلورهای کلینوپیروکسن با اندازه متوسط، دارای منطقه‌بندی هستند؛ در حالی که کلینوپیروکسن‌های کوچک‌تر، منطقه‌بندی ندارند. پلازیوکلاز نیز در بازالت‌های مورد بررسی گاه به صورت منفرد و گاه به حالت انباسته‌های گلومرولوپورفیری دیده می‌شود. این کانی بصورت نیمه‌شکل دار تا شکل دار همراه با ماکل‌های پلی سنتتیک و کارلسپاد مشاهده می‌شود و فاقد منطقه‌بندی است.

سنگ‌های حدواسط دارای ترکیب آندزیت و تراکی آندزیت هستند و در منطقه به ترتیب به رنگ خاکستری تیره و سفید مایل به قرمز دیده می‌شوند. بررسی مقاطع نازک تهیه شده از این سنگ‌ها نشان می‌دهد که بافت غالب این سنگ‌ها پورفیری و سریئت (seriate) است. همچنین، پلازیوکلاز فراوان ترین کانی موجود در آن‌ها بوده که همراه با ماکل پلی سنتتیک و کارلسپاد به صورت درشت‌بلور و ریز‌سنگ قابل مشاهده است. این پلازیوکلازها دچار دگرسانی‌های سوسوریتی و سرسیتی شده و به کانی‌های رسی، کلسیت، کلریت و سرسیت تجزیه شده‌اند.

### روابط صحرایی و سنگنگاری

براساس بررسی‌های سنگنگاری، سنگ‌های آتشفسانی اؤسن که گستره وسیعی از منطقه را بخود اختصاص داده‌اند در سه گروه سنگ‌های بازی، حدواسط و اسیدی طبقه‌بندی می‌شوند. سنگ‌های بازی شامل بازالت‌ها هستند که در نمونه دستی به رنگ سیاه دیده می‌شوند و بیشتر دارای زمینه ریز‌بلور هستند. این بازالت‌ها زیر میکروسکوب کانی‌شناسی مشابهی را نشان می‌دهند و بافت‌های جریانی، پورفیری، هیالومیکرولیتی پورفیری و هیالوپورفیری در آن‌ها دیده می‌شود (شکل‌های ۳ الف، ب و پ). کانی‌های اصلی تشکیل‌دهنده این سنگ‌ها شامل پلازیوکلاز و کلینوپیروکسن هستند و اکسیدهای آهن، فراوان-ترین کانی فرعی این بازالت‌ها را تشکیل می‌دهند. در برخی مقاطع میکروسکوپی دیده می‌شود که پیروکسن به کلریت، سرسیت و کلسیت تبدیل شده است. بر اساس تجزیه EPMA انجام شده در این پژوهش، کانی‌های کلینوپیروکسن بیشتر دارای ترکیب دیوپسید بوده (بخش ۱-۵ را ببینید)، شکل دار تا نیمه‌شکل دار هستند و به صورت ریز تا درشت‌بلور در خمیره شیشه‌ای/



شکل ۳ تصاویر میکروسکوپی از سنگ‌های آتشفسانی اؤسن در گردنه آهavan: (الف) درشت‌بلور پلازیوکلاز در زمینه میکرولیتی و بافت‌های هیالومیکرولیتی و گلومرولوپورفیری در آندزیت، ب و پ) درشت‌بلورهای کلینوپیروکسن با ماکل نواری در بازالت و بافت هیالوپورفیری در بازالت، ت) بافت گلومرولوپورفیری در داسیت. علائم اختصاری کانی‌ها عبارتند از: Pl = پلازیوکلاز، Cpx = کلینوپیروکسن و Chl = کلریت [۹].

### روش تجزیه

پس از بررسی‌های صحرایی و سنگنگاری دقیق، ۴ نمونه از بازالت‌ها برای تجزیه نقطه‌ای به دانشگاه اسلو در کشور نروژ ارسال شدند. سپس ۲۶ نقطه از کانی کلینوپیروکسن و ۱۶ نقطه بر کانی پلازیوکلاز انتخاب و توسط دستگاه ریزپردازشگر الکترونی مدل Cameca SX100 با ولتاژ شتابدهنده ۵ کیلوولت و شدت جریان ۲۰ نانوآمپر به مدت ۳۰ ثانیه تجزیه شد (جدول‌های ۱، ۲ و ۳). در آخر تعداد کاتیون‌های موجود در فرمول ساختاری پیروکسن و پلازیوکلاز به کمک نرم‌افزار Minpet2.02 به ترتیب بر اساس ۶ و ۸ اتم اکسیژن محاسبه شد (جدول‌های ۱، ۲ و ۳) و در تحلیل‌های مختلف مورد استفاده قرار گرفت.

سنگ‌های اسیدی دارای ترکیب داسیت و ریولیت هستند. این سنگ‌ها در صحرابصورت تپه‌ها و گنبدهای کم ارتفاع و در نمونه دستی به رنگ سفید و گاهی صورتی دیده می‌شوند. همچنین بافت‌های پورفیری و گلومرپورفیری در آنها مشاهده می‌شود (شکل ۳ ت). بلورهای شکل‌دار تا نیمه‌شکل‌دار پلازیوکلاز به عنوان کانی اصلی و به صورت درشت‌بلور یا بصورت میکرولیت در زمینه سنگ یافت می‌شوند. کانی فرعی آپاتیت نیز به صورت سوزنی و کشیده در زمینه سنگ و گاهی بصورت میانباره‌ای در برخی پلازیوکلازها حضور دارد. از کانی‌های ثانویه موجود در این سنگ‌ها می‌توان به کلسیت، سرسیت و اکسیدهای آهن اشاره کرد.

**جدول ۱** نتایج تجزیه ریزپردازش بلورهای متوسط کلینوپیروکسن در سنگ‌های بازالتی ائوسن در گردنه آهوان. فرمول ساختاری آنها بر اساس ۶ اتم اکسیژن محاسبه شده است. برآوردهای دما و فشار تبلور به ترتیب بر اساس معادلات ارائه شده توسط پاتیرکا [۱۰] و نیمیس [۱۱] هستند. علائم اختصاری عبارتند از نزدیک = N؛ بین مرکز و حاشیه = B.C&R؛ کانی =

$$\text{Min} = \text{B.C\&R} - \text{N}$$

| Min                                 | Min 1  |        |       |       | Min 2  |        |       |       | Min 3 |       |       |       |
|-------------------------------------|--------|--------|-------|-------|--------|--------|-------|-------|-------|-------|-------|-------|
|                                     | مرکز   | B.C&R  | N     | حاشیه | مرکز   | B.C&R  | N     | حاشیه | مرکز  | B.C&R | N     | حاشیه |
| محا، آنالیز                         | مرکز   | B.C&R  | N     | حاشیه | مرکز   | B.C&R  | N     | حاشیه | مرکز  | B.C&R | N     | حاشیه |
| <b>SiO<sub>2</sub></b>              | ۵۲,۱۷  | ۵۱,۶۳  | ۴۸,۶۹ | ۴۸,۹۷ | ۵۲,۱۵  | ۴۷,۷۱  | ۵۱,۲۴ | ۴۶,۳۷ | ۴۹,۴۳ | ۴۹,۸۳ | ۴۵    | ۴۴,۰۱ |
| <b>TiO<sub>2</sub></b>              | ۰,۴۵   | ۰,۶۵   | ۱,۱۵  | ۰,۸۳  | ۰,۵    | ۱,۵    | ۰,۵۳  | ۲,۰۲  | ۰,۹۱  | ۰,۷۶  | ۲,۱۱  | ۲,۲۲  |
| <b>Al<sub>2</sub>O<sub>3</sub></b>  | ۳      | ۳,۲۹   | ۶,۳۸  | ۴,۷۳  | ۲,۴۹   | ۶,۳۱   | ۲,۹۷  | ۸,۰۱  | ۴,۶۳  | ۴,۱۹  | ۸,۱۳  | ۸,۴۶  |
| <b>FeO</b>                          | ۳,۹۴   | ۴,۴    | ۶,۰۶  | ۴,۸۱  | ۴,۴۶   | ۷,۲۶   | ۴,۴۸  | ۷,۳۶  | ۶,۳۳  | ۵,۲۴  | ۷,۶۶  | ۸,۲   |
| <b>Cr<sub>2</sub>O<sub>3</sub></b>  | ۰,۲۹   | ۰,۱۵   | ۰,۱۵  | ۱,۰۴  | ۰,۵۶   | ۰,۰۹   | ۰,۳۹  | ۰,۰۷  | ۰,۱۲  | ۰,۶۷  | ۰,۱۲  | ۰,۰۷  |
| <b>MnO</b>                          | ۰,۷    | ۰,۰۷   | ۰,۰۸  | ۰,۰۷  | ۰,۱۴   | ۰,۱۳   | ۰,۰۶  | ۰,۱۳  | ۰,۱۷  | ۰,۰۹  | ۰,۱   | ۰,۱   |
| <b>MgO</b>                          | ۱۶,۵۳  | ۱۶,۱۵  | ۱۴,۳۳ | ۱۴,۷۷ | ۱۶,۵۲  | ۱۳,۸۹  | ۱۶,۱۸ | ۱۲,۸۵ | ۱۴,۷۸ | ۱۵,۰۱ | ۱۲,۳۵ | ۱۲,۱۴ |
| <b>CaO</b>                          | ۲۳,۶۶  | ۲۳,۷۸  | ۲۲,۰۵ | ۲۲,۷۴ | ۲۲,۰۹  | ۲۳,۷۱  | ۲۲,۶۸ | ۲۲,۰۶ | ۲۲,۰۲ | ۲۳,۵۲ | ۲۲,۲۳ | ۲۲,۵۷ |
| <b>Na<sub>2</sub>O</b>              | ۰,۲۴   | ۰,۱۹   | ۰,۳۴  | ۰,۲۵  | ۰,۱۸   | ۰,۲۸   | ۰,۲۶  | ۰,۳   | ۰,۲۵  | ۰,۲۳  | ۰,۲۶  | ۰,۳   |
| <b>Total</b>                        | ۱۰۰,۳۵ | ۱۰۰,۳۱ | ۹۹,۲۳ | ۹۸,۲۱ | ۱۰۰,۰۹ | ۱۰۰,۸۸ | ۹۸,۷۹ | ۹۹,۱۷ | ۹۹,۶۵ | ۹۹,۵۴ | ۹۷,۹۶ | ۹۸,۰۷ |
| <b>TSi</b>                          | ۱,۸۹   | ۱,۸۸   | ۱,۷۸  | ۱,۸۱  | ۱,۹۰   | ۱,۷۶   | ۱,۸۷  | ۱,۷۱  | ۱,۸۲  | ۱,۸۳  | ۱,۶۹  | ۱,۶۶  |
| <b>TAl</b>                          | ۰,۱۰   | ۰,۱۱   | ۰,۲۱  | ۰,۱۸  | ۰,۰۹   | ۰,۲۳   | ۰,۱۲  | ۰,۲۸  | ۰,۱۷  | ۰,۱۶  | ۰,۳۱  | ۰,۳۳  |
| <b>M<sub>1</sub>Al</b>              | ۰,۰۲   | ۰,۰۲   | ۰,۰۶  | ۰,۰۲  | ۰,۰۱   | ۰,۰۴   | ۰,۰۰  | ۰,۰۶  | ۰,۰۲  | ۰,۰۲  | ۰,۰۴  | ۰,۰۴  |
| <b>M<sub>1</sub>Ti</b>              | ۰,۰۱   | ۰,۰۱   | ۰,۰۳  | ۰,۰۲  | ۰,۰۱   | ۰,۰۴   | ۰,۰۱  | ۰,۰۵  | ۰,۰۲  | ۰,۰۲  | ۰,۰۶  | ۰,۰۶  |
| <b>M<sub>1</sub>Fe<sup>3+</sup></b> | ۰,۰۶   | ۰,۰۶   | ۰,۱۰  | ۰,۱۰  | ۰,۰۵   | ۰,۱۲   | ۰,۰۹  | ۰,۱۲  | ۰,۱۱  | ۰,۰۹  | ۰,۱۵  | ۰,۱۷  |
| <b>M<sub>1</sub>Fe<sup>2+</sup></b> | ۰,۰۰   | ۰,۰۰   | ۰,۰۱  | ۰,۰۰  | ۰,۰۰   | ۰,۰۲   | ۰,۰۰  | ۰,۰۴  | ۰,۰۲  | ۰,۰۱  | ۰,۰۴  | ۰,۰۲  |
| <b>M<sub>1</sub>Cr</b>              | ۰,۰    | ۰,۰    | ۰,۰۰  | ۰,۰۳  | ۰,۰۱   | ۰,۰۰   | ۰,۰۱  | ۰,۰۰  | ۰,۰۰  | ۰,۰۲  | ۰,۰۰  | ۰,۰۰  |
| <b>M<sub>1</sub>Mg</b>              | ۰,۸۹   | ۰,۸۷   | ۰,۷۸  | ۰,۸۱  | ۰,۹    | ۰,۷۶   | ۰,۸۷  | ۰,۷۰  | ۰,۸۱  | ۰,۸۲  | ۰,۶۹  | ۰,۶۸  |
| <b>M<sub>2</sub>Fe<sup>2+</sup></b> | ۰,۰۵   | ۰,۰۵   | ۰,۰۶  | ۰,۰۳  | ۰,۰۷   | ۰,۰۷   | ۰,۰۴  | ۰,۰۶  | ۰,۰۶  | ۰,۰۵  | ۰,۰۴  | ۰,۰۵  |
| <b>M<sub>2</sub>Ca</b>              | ۰,۹۲   | ۰,۹۲   | ۰,۹۰  | ۰,۹۴  | ۰,۹۰   | ۰,۹    | ۰,۹۲  | ۰,۹۱  | ۰,۹۱  | ۰,۹۳  | ۰,۹۳  | ۰,۹۱  |
| <b>M<sub>2</sub>Na</b>              | ۰,۱    | ۰,۰۱   | ۰,۰۲  | ۰,۰۱  | ۰,۰۱   | ۰,۰۲   | ۰,۰۱  | ۰,۰۲  | ۰,۰۱  | ۰,۰۱  | ۰,۰۲  | ۰,۰۲  |
| <b>Al<sup>(IV)</sup></b>            | ۰,۰۹   | ۰,۱۱   | ۰,۲۰  | ۰,۱۷  | ۰,۰۹   | ۰,۲۲   | ۰,۱۱  | ۰,۲۷  | ۰,۱۶  | ۰,۱۵  | ۰,۲۹  | ۰,۳۱  |
| <b>Al<sup>(VI)</sup></b>            | ۰,۰۳   | ۰,۰۳   | ۰,۰۸  | ۰,۰۴  | ۰,۰۲   | ۰,۰۶   | ۰,۰۲  | ۰,۰۹  | ۰,۰۵  | ۰,۰۴  | ۰,۰۸  | ۰,۰۸  |
| <b>Al<sup>(total)</sup></b>         | ۰,۱۳   | ۰,۱۴   | ۰,۲۸  | ۰,۲۱  | ۰,۱۱   | ۰,۲۸   | ۰,۱۳  | ۰,۳۵  | ۰,۲۰  | ۰,۱۸  | ۰,۳۶  | ۰,۳۸  |
| <b>Mg<sup>#</sup></b>               | ۹۴,۱۳  | ۹۳,۱۲  | ۹۰,۹۲ | ۹۵,۰۹ | ۹۱,۳۰  | ۸۸,۶۹  | ۹۵,۶۱ | ۸۷,۳۰ | ۹۰,۴۷ | ۹۲,۲۶ | ۸۹,۱۲ | ۸۹,۰۶ |
| <b>Wo(%)</b>                        | ۴۹,۲۰  | ۴۹,۶۳  | ۵۱,۲۴ | ۵۲,۳۵ | ۴۷,۸۴  | ۵۱,۰۳  | ۵۰,۱۴ | ۵۲,۹۶ | ۵۰,۳۳ | ۵۰,۹۶ | ۵۴,۶۴ | ۵۴,۳۴ |
| <b>En(%)</b>                        | ۴۸,۸۲  | ۴۶,۹۰  | ۴۴,۳۳ | ۴۵,۳۱ | ۴۷,۶۲  | ۴۳,۴۳  | ۴۷,۶۷ | ۴۱,۰۶ | ۴۴,۹۴ | ۴۵,۲۵ | ۴۰,۴۲ | ۴۰,۶۷ |
| <b>Fs(%)</b>                        | ۲۹,۸   | ۳۴,۷   | ۴,۴۳  | ۲۳,۴  | ۴,۵۴   | ۵,۵۴   | ۲,۱۹  | ۵,۹۸  | ۴,۷۳  | ۲,۸۰  | ۴,۹۴  | ۴,۹۹  |
| <b>T(□ C)</b>                       | ۱۲۱۶   | ۱۲۱۰   | ۱۲۱۲  | ۱۲۰۳  | ۱۱۹۱   | ۱۲۰۲   | ۱۱۵۹  | ۱۱۶۱  | ۱۲۰۵  | ۱۱۷۵  | ۱۲۰۷  | ۱۱۷۳  |
| <b>P(kbar)</b>                      | ۰,۶۶   | ۰,۸۷   | ۳,۷۱  | ۰,۷۹  | ۱,۱۶   | ۱,۰۰   | ۱,۶۱  | ۲,۷۶  | -۰,۰۵ | ۱,۵۰  | ۰,۳۴  | ۲,۵۷  |

جدول ۲ نتایج تجزیه ریزپرداش بلورهای ریز کلینوپیروکسن در سنگ‌های بازالتی اوسن در گردنه آهوان. فرمول ساختاری آنها براساس ۶ اتم اکسیژن محاسبه شده است. برآوردهای دما و فشار تبلور به ترتیب بر اساس معادلات ارائه شده توسط پاتیرکا [۱۰] و نیمیس [۱۱] هستند.

| Min                                 | Min 4 | Min 5 | Min 6  |        | Min 7 | Min 8 | Min 9 | Min 10 | Min 11 | Min 12 |       |
|-------------------------------------|-------|-------|--------|--------|-------|-------|-------|--------|--------|--------|-------|
| محل آنالیز                          | مرکز  | مرکز  | مرکز   | مرکز   | مرکز  | مرکز  | مرکز  | مرکز   | مرکز   | مرکز   | مرکز  |
| <i>SiO<sub>2</sub></i>              | ۴۹.۰۱ | ۵۱.۳۳ | ۸۲.۲۲  | ۸۱.۸۸  | ۴۹.۶۴ | ۳۴.۸۸ | ۴۹.۳۳ | ۳۶.۷۳  | ۴۳.۴۸  | ۴۹.۷   | ۴۸.۰۷ |
| <i>TiO<sub>2</sub></i>              | ۱.۰۸  | ۰.۶۵  | ۰.۴    | ۰.۴    | ۰.۹۳  | ۱.۰۷  | ۰.۹۸  | ۰.۹    | ۲.۴۹   | ۱.۰۴   | ۲.۱۷  |
| <i>Al<sub>2</sub>O<sub>3</sub></i>  | ۴.۴۲  | ۲.۷۳  | ۲.۸۲   | ۲.۳    | ۴.۱۵  | ۱.۵۳  | ۵     | ۲۱.۲۱  | ۹.۰۴   | ۴.۶    | ۸.۶۸  |
| <i>FeO</i>                          | ۷.۵۳  | ۵.۵۳  | ۳.۹۱   | ۴.۱۳   | ۶.۹۳  | ۱۰.۴۵ | ۰.۲۶  | ۸.۶۷   | ۸.۴۶   | ۶.۹۶   | ۸.۲۵  |
| <i>Cr<sub>2</sub>O<sub>3</sub></i>  | ۰.۰۸  | ۰.۲۸  | ۰.۷۹   | ۰.۷۸   | ۰.۱۲  | ۰.۰۰  | ۰.۰   | ۰.۰۰   | ۰.۰۶   | ۰.۰۴   | ۰.۰۹  |
| <i>MnO</i>                          | ۰.۱۹  | ۰.۱   | ۰.۰۸   | ۰.۱۴   | ۰.۱۶  | ۰.۲۲  | ۰.۱   | ۰.۰۷   | ۰.۱۱   | ۰.۱۸   | ۰.۱۲  |
| <i>MgO</i>                          | ۱۴.۸۷ | ۱۶.۲۵ | ۱۶.۶۳  | ۱۶.۰۳  | ۱۷.۳۱ | ۷.۸۰  | ۱۰.۰۱ | ۲۳.۶   | ۱۱.۷۴  | ۱۴.۷۴  | ۱۲.۱۲ |
| <i>CaO</i>                          | ۲۲.۱۸ | ۲۲.۸۷ | ۲۳.۴   | ۲۲.۹   | ۲۲.۲۱ | ۱۷.۲  | ۲۲.۹۵ | ۲۲.۷۴  | ۲۲.۸۹  | ۲۲.۸۱  | ۲۲.۹۹ |
| <i>Na<sub>2</sub>O</i>              | ۰.۱۸  | ۰.۱۸  | ۰.۲۳   | ۰.۳۱   | ۰.۱۶  | ۰.۰۷  | ۰.۲۷  | ۰.۰۳   | ۰.۲۹   | ۰.۲۲   | ۰.۳   |
| Total                               | ۹۹.۴۸ | ۹۹.۶۲ | ۱۰۰.۴۰ | ۱۰۰.۴۰ | ۹۹.۶۱ | ۹۰.۲۴ | ۹۹.۴  | ۹۱.۹   | ۹۸.۶۵  | ۹۹.۹۹  | ۹۹.۷۹ |
| <i>TSi</i>                          | ۱.۸۲  | ۱.۸۹  | ۱.۹۰   | ۱.۸۹   | ۱.۸۴  | ۱.۷۴  | ۱.۸۲  | ۱.۸۱   | ۱.۶۴   | ۱.۸۳   | ۱.۶۸  |
| <i>TAl</i>                          | ۰.۱۸  | ۰.۱۱  | ۰.۱۰   | ۰.۱۲   | ۰.۱۷  | ۰.۸۳  | ۰.۱۸  | ۰.۴۹   | ۰.۳۶   | ۰.۱۷   | ۰.۳۲  |
| <i>M<sub>1</sub>Al</i>              | ۰.۰۱  | ۰.۰۱  | ۰.۰۲   | ۰.۰۳   | ۰.۰۲  | ۰.۰۳  | ۰.۰۴  | ۰.۰۴   | ۰.۰۸   | ۰.۰۳   | ۰.۰۶  |
| <i>M<sub>1</sub>Ti</i>              | ۰.۰۳  | ۰.۰۲  | ۰.۰۱   | ۰.۰۱   | ۰.۰۳  | ۰.۰۸  | ۰.۰۳  | ۰.۰۰   | ۰.۰۷   | ۰.۰۳   | ۰.۰۶  |
| <i>M<sub>1</sub>Fe<sup>3+</sup></i> | ۰.۱۲  | ۰.۰۷  | ۰.۰۶   | ۰.۰۶   | ۰.۱۱  | ۰.۲۱  | ۰.۰۹  | ۰.۰۰   | ۰.۱۹   | ۰.۰۹   | ۰.۱۶  |
| <i>M<sub>1</sub>Fe<sup>2+</sup></i> | ۰.۰۱  | ۰.۰۰  | ۰.۰۰   | ۰.۰۰   | ۰.۰۱  | ۰.۰۴  | ۰.۰۰  | ۰.۰۳   | ۰.۰۳   | ۰.۰۴   | ۰.۰۵  |
| <i>M<sub>1</sub>Cr</i>              | ۰.۰۰  | ۰.۰۱  | ۰.۰۲   | ۰.۰۳   | ۰.۰۰  | ۰.۰۰  | ۰.۰۰  | ۰.۰۰   | ۰.۰۰   | ۰.۰۰   | ۰.۰۰  |
| <i>M<sub>1</sub>Mg</i>              | ۰.۸۲  | ۰.۸۹  | ۰.۸۹   | ۰.۸۸   | ۰.۸۴  | ۰.۴۷  | ۰.۸۲  | ۰.۱۸   | ۰.۶۶   | ۰.۸۱   | ۰.۶۷  |
| <i>M<sub>2</sub>Fe<sup>2+</sup></i> | ۰.۱۰  | ۰.۰۹  | ۰.۰۶   | ۰.۰۶   | ۰.۱۰  | ۰.۳۰  | ۰.۰۷  | ۰.۰۰   | ۰.۰۸   | ۰.۰۹   | ۰.۰۶  |
| <i>M<sub>2</sub>Ca</i>              | ۰.۸۸  | ۰.۸۹  | ۰.۹۱   | ۰.۸۹   | ۰.۸۸  | ۰.۶۹  | ۰.۹۱  | ۱.۰۰   | ۰.۹۳   | ۰.۸۹   | ۰.۹۲  |
| <i>M<sub>2</sub>Na</i>              | ۰.۰۱  | ۰.۰۱  | ۰.۰۲   | ۰.۰۲   | ۰.۰۱  | ۰.۰۱  | ۰.۰۲  | ۰.۰۰   | ۰.۰۲   | ۰.۰۲   | ۰.۰۲  |
| <i>Af<sup>(I)</sup></i>             | ۰.۱۶  | ۰.۰۹  | ۰.۰۹   | ۰.۱    | ۰.۱۴  | ۰.۰   | ۰.۱۶  | ۰.۴۹   | ۰.۳۳   | ۰.۱۰   | ۰.۲۹  |
| <i>Af<sup>(II)</sup></i>            | ۰.۰۳  | ۰.۰۱  | ۰.۰۰   | ۰.۰۰   | ۰.۰۰  | ۰.۲۶  | ۰.۰۰  | ۰.۰۳   | ۰.۰۷   | ۰.۰۴   | ۰.۰۸  |
| <i>Af<sup>(total)</sup></i>         | ۰.۱۹  | ۰.۱۱  | ۰.۱۲   | ۰.۱۴   | ۰.۱۸  | ۰.۷۷  | ۰.۲۱  | ۱.۰۲   | ۰.۴    | ۰.۲    | ۰.۳۸  |
| <i>Mg<sup>#</sup></i>               | ۱۸.۷۴ | ۹.۰۱۶ | ۴۷.۳۳  | ۸۲.۹۳  | ۴۲.۸۸ | ۱.۱۸  | ۱۴.۹۱ | ۶۴.۲۸  | ۹.۰۸۸  | ۸۹.۸۶  | ۱۸.۶۱ |
| <i>Wo(%)</i>                        | ۴۰.۳۳ | ۴۰.۰۳ | ۴۷.۱۸  | ۴۶.۰۳  | ۴۰.۲۳ | ۴۰.۰  | ۴۷.۷۹ | ۵۹.۲۳  | ۴۹.۸۸  | ۴۶.۳۲  | ۴۹.۸۶ |
| <i>En(%)</i>                        | ۴۱.۲۴ | ۴۰.۶۱ | ۴۶.۶۷  | ۴۶.۷۰  | ۴۳.۴۳ | ۲۷.۶۹ | ۴۳.۹۹ | ۱.۰۰   | ۳۰.۰۸  | ۴۲.۲۱  | ۴۲.۳۸ |
| <i>Fs(%)</i>                        | ۴۲.۳۴ | ۱.۸۷  | ۶.۲۳   | ۶.۷۷   | ۱۱.۲۹ | ۳۲.۲۵ | ۸.۷۲  | ۲۰.۷۷  | ۱۴.۰۷  | ۱۱.۴۷  | ۱۴.۰۹ |
| <i>T(°C)</i>                        | ۱۱۶۶  | ۱۱۱۹  | ۱۲۱۷   | ۱۲۳۰   | ۱۱۸۳  | ۱۲.۰  | ۱۲.۰  | ۱۳۳۳   | ۱۱۴۶   | ۱۱۷۱   | ۱۱۸۹  |
| <i>P(kbar)</i>                      | -۰.۲  | -۰.۳  | ۰.۷    | ۲.۳    | ۰.۹   | ۱۴.۵  | ۲.۲   | ۱۶.۳   | ۱.۹    | -۰.۳   | ۲.۳   |

## ۲ ادامه جدول

| Min                                 | Min 13 | Min 14 | Min 15 |
|-------------------------------------|--------|--------|--------|
| محل آنالیز                          | مرکز   | مرکز   | مرکز   |
| <i>SiO<sub>2</sub></i>              | ۴۴.۳۲  | ۴۹.۹۵  | ۴۴.۸۹  |
| <i>TiO<sub>2</sub></i>              | ۲.۳۵   | ۰.۸۸   | ۲.۰۳   |
| <i>Al<sub>2</sub>O<sub>3</sub></i>  | ۸.۶۵   | ۴.۴۶   | ۸.۵۴   |
| <i>FeO</i>                          | ۸.۴۴   | ۵.۲۱   | ۸.۳۷   |
| <i>Cr<sub>2</sub>O<sub>3</sub></i>  | ۰.۱    | ۰.۰    | ۰.۰۲   |
| <i>MnO</i>                          | ۰.۱۱   | ۰.۵۲   | ۰.۱    |
| <i>MgO</i>                          | ۱۱.۷۹  | ۰.۰۷   | ۱۲.۱۷  |
| <i>CaO</i>                          | ۲۲.۹۷  | ۱۵.۳   | ۲۳.۰۳  |
| <i>Na<sub>2</sub>O</i>              | ۰.۳۴   | ۲۳.۴۵  | ۰.۳۴   |
| Total                               | ۹۹.۰۷  | ۹۹.۸۴  | ۹۹.۴۹  |
| <i>TSi</i>                          | ۱.۸۷   | ۱.۸۳   | ۱.۶۸   |
| <i>TAl</i>                          | ۰.۳۳   | ۰.۱۷   | ۰.۳۲   |
| <i>M<sub>1</sub>Al</i>              | ۰.۰۵   | ۰.۰۲   | ۰.۰۵   |
| <i>M<sub>1</sub>Ti</i>              | ۰.۰۷   | ۰.۰۲   | ۰.۰۶   |
| <i>M<sub>1</sub>Fe<sup>3+</sup></i> | ۰.۱۷   | ۰.۱۰   | ۰.۱۸   |
| <i>M<sub>1</sub>Fe<sup>2+</sup></i> | ۰.۰۵   | ۰.۰۰   | ۰.۰۳   |
| <i>M<sub>1</sub>Cr</i>              | ۰.۰۰   | ۰.۰۲   | ۰.۰۰   |
| <i>M<sub>1</sub>Mg</i>              | ۰.۶۶   | ۰.۸۴   | ۰.۶۸   |
| <i>M<sub>2</sub>Fe<sup>2+</sup></i> | ۰.۱۵   | ۰.۰۶   | ۰.۰۵   |
| <i>M<sub>2</sub>Ca</i>              | ۰.۹۳   | ۰.۹۲   | ۰.۹۲   |
| <i>M<sub>2</sub>Na</i>              | ۰.۰۳   | ۰.۰۲   | ۰.۰۳   |
| <i>Af<sup>(I)</sup></i>             | ۰.۳    | ۰.۱۵   | ۰.۱۹   |
| <i>Af<sup>(II)</sup></i>            | ۰.۰۷   | ۰.۰۴   | ۰.۰۸   |
| <i>Af<sup>(total)</sup></i>         | ۰.۳۸   | ۰.۱۹   | ۰.۳۸   |
| <i>Mg<sup>#</sup></i>               | ۳۱.۸۷  | ۹۳.۴۶  | ۸۸.۸۹  |
| <i>Wo(%)</i>                        | ۴۹.۸۸  | ۴۷.۹۹  | ۴۹.۴۵  |
| <i>En(%)</i>                        | ۲۵.۶۲  | ۴۳.۵۷  | ۳۶.۳۶  |
| <i>Fs(%)</i>                        | ۱۴.۵۰  | ۱.۴۴   | ۱۴.۲۰  |
| <i>T(°C)</i>                        | ۱۱۴۲   | ۱۱۹۹   | ۱۱۶۶   |
| <i>P(kbar)</i>                      | ۱      | ۰.۹    | ۲.۹    |

جدول ۳ تجزیه ریزپردازش فلدسپارهای موجود در سنگ‌های آهوان به همراه محاسبه کاتیون‌ها براساس ۸ اتم اکسیژن.

| Sample    | آنذیت تراکت |         |         |         |         |         |         |         | بازالت  |         |         |        |        |         |         |         | تراکت   |  |
|-----------|-------------|---------|---------|---------|---------|---------|---------|---------|---------|---------|---------|--------|--------|---------|---------|---------|---------|--|
|           | $SiO_2$     | $68.10$ | $68.36$ | $98.51$ | $67.30$ | $67.15$ | $67.75$ | $68.11$ | $68.24$ | $67.01$ | $60.53$ | $57.8$ | $65.7$ | $66.30$ | $62.37$ | $69.03$ | $63.68$ |  |
| $TiO_2$   | ...         | ...     | ...     | ...     | ...     | ...     | ...     | ...     | ...     | ...     | ...     | ...    | ...    | ...     | ...     | ...     | ...     |  |
| $Al_2O_3$ | 19.73       | 19.52   | 0.67    | 19.63   | 19.75   | 19.73   | 19.65   | 19.74   | 20.22   | 19.03   | 18.4    | 20.7   | 20.55  | 18.46   | 19.72   | 18.19   |         |  |
| $FeO$     | 0.1         | 0.00    | 0.42    | 0.5     | 0.09    | 0.04    | 0.11    | 0.01    | 0.51    | 0.96    | 3.7     | 0.71   | 0.66   | 0.11    | 0.01    | 0.06    |         |  |
| $MnO$     | 0.00        | 0.00    | 0.00    | 0.00    | 0.00    | 0.00    | 0.00    | 0.00    | 0.03    | 0.10    | 0.01    | 0.06   | 0.04   | 0.00    | 0.00    | 0.00    |         |  |
| $MgO$     | 0.00        | 0.00    | 0.00    | 0.00    | 0.00    | 0.00    | 0.00    | 0.00    | 0.63    | 1.92    | 0.37    | 0.36   | 0.03   | 0.00    | 0.00    | 0.00    |         |  |
| $CaO$     | 0.25        | 0.17    | 0.04    | 0.35    | 0.16    | 0.38    | 0.11    | 0.23    | 0.89    | 0.30    | 0.79    | 1.59   | 1.14   | 0.02    | 0.02    | 0.00    |         |  |
| $Na_2O$   | 11.67       | 11.75   | 0.05    | 11.66   | 11.17   | 11.67   | 11.63   | 11.79   | 11.22   | 0.54    | 0.52    | 10.63  | 10.88  | 0.47    | 11.65   | 0.23    |         |  |
| $K_2O$    | 0.03        | 0.03    | 0.02    | 0.10    | 0.45    | 0.05    | 0.29    | 0.04    | 0.17    | 14.82   | 13.1    | 0.42   | 0.20   | 15.64   | 0.06    | 19.27   |         |  |
| Total     | 99.79       | 99.82   | 99.71   | 99.10   | 98.77   | 99.63   | 99.90   | 100.06  | 100.45  | 96.39   | 94.3    | 100    | 99.82  | 98.7    | 100.5   | 98.40   |         |  |
| $Si$      | 11.93       | 11.97   | 15.87   | 11.89   | 11.90   | 11.90   | 11.93   | 11.93   | 11.71   | 11.59   | 11.26   | 11.5   | 11.62  | 11.9    | 11.99   | 11.98   |         |  |
| $Al$      | 4.07        | 4.02    | 0.13    | 4.09    | 4.12    | 4.08    | 4.06    | 4.06    | 4.18    | 4.29    | 4.23    | 4.28   | 4.26   | 4.09    | 4.03    | 4.03    |         |  |
| $Ti$      | 0.00        | 0.00    | 0.00    | 0.00    | 0.00    | 0.00    | 0.00    | 0.00    | 0.04    | 0.03    | 0.09    | 0.10   | 0.05   | 0.00    | 0.00    | 0.00    |         |  |
| $Fe2$     | 0.00        | 0.00    | 0.06    | 0.01    | 0.01    | 0.01    | 0.02    | 0.00    | 0.08    | 0.15    | 0.05    | 0.11   | 0.10   | 0.02    | 0.00    | 0.01    |         |  |
| $Mn$      | 0.00        | 0.00    | 0.00    | 0.00    | 0.00    | 0.00    | 0.00    | 0.00    | 0.00    | 0.01    | 0.02    | 0.00   | 0.00   | 0.00    | 0.00    | 0.00    |         |  |
| $Mg$      | 0.00        | 0.00    | 0.01    | 0.00    | 0.00    | 0.00    | 0.00    | 0.00    | 0.05    | 0.18    | 0.56    | 0.10   | 0.10   | 0.01    | 0.00    | 0.00    |         |  |
| $Ca$      | 0.05        | 0.03    | 0.00    | 0.07    | 0.03    | 0.07    | 0.02    | 0.04    | 0.17    | 0.06    | 0.16    | 0.30   | 0.22   | 0.00    | 0.00    | 0.00    |         |  |
| $Na$      | 3.96        | 3.99    | 0.02    | 4.00    | 3.84    | 3.98    | 3.95    | 4.00    | 3.81    | 0.20    | 0.20    | 3.61   | 3.71   | 0.17    | 3.92    | 0.08    |         |  |
| $K$       | 0.01        | 0.01    | 0.00    | 0.02    | 0.10    | 0.01    | 0.07    | 0.01    | 0.04    | 3.62    | 3.26    | 0.09   | 0.05   | 3.76    | 0.01    | 3.90    |         |  |
| Cations   | 20.02       | 20.02   | 16.08   | 20.07   | 20.01   | 20.05   | 20.04   | 20.04   | 20.07   | 20.13   | 20.26   | 20.1   | 20.1   | 19.98   | 19.96   | 19.99   |         |  |
| $Ab\%$    | 98.70       | 99      | 63      | 97.80   | 96.70   | 98      | 97.90   | 98.70   | 94.90   | 5.20    | 5.40    | 9.02   | 93.4   | 4.40    | 99.60   | 21.0    |         |  |
| $An\%$    | 1.10        | 0.80    | 22.20   | 1.60    | 0.80    | 1.80    | 0.50    | 1.10    | 4.20    | 1.60    | 4.50    | 7.50   | 5.40   | 0.10    | 0.10    | 0.00    |         |  |
| $Or\%$    | 0.20        | 0.20    | 14.80   | 0.60    | 2.60    | 0.30    | 1.60    | 0.20    | 0.90    | 93.30   | 90      | 2.30   | 1.20   | 95.7    | 0.30    | 98.20   |         |  |

### شیمی کانی پیروکسن

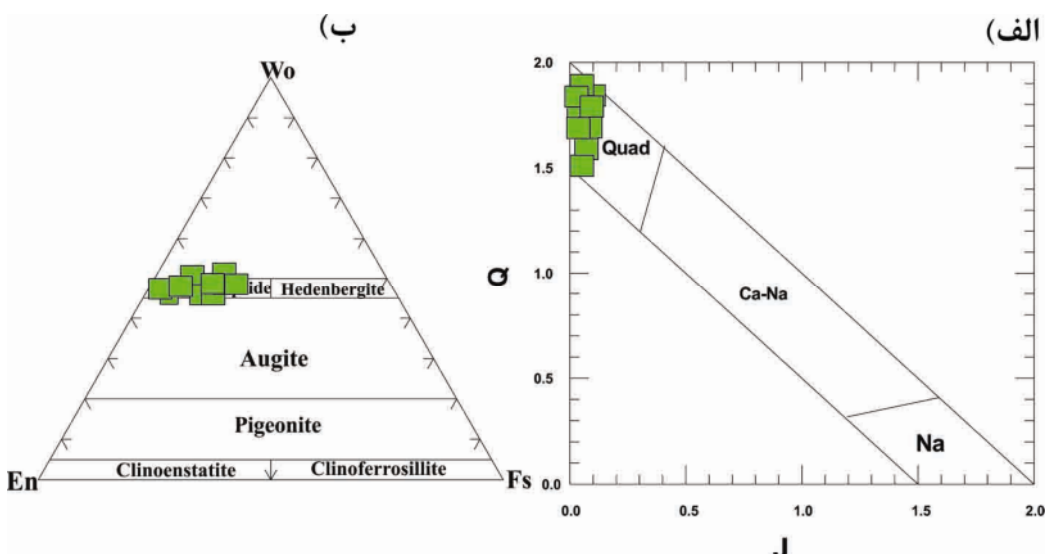
پیروکسن‌ها را با توجه به قرارگیری کاتیون‌ها در جایگاه‌های  $M_1$  و  $M_2$  می‌توان به چهار گروه کلی تقسیم کرد [۱۳]: (۱) پیروکسن‌های Ca-Mg-Fe (Quad)، (۲) پیروکسن‌های Ca-Mg-Fe (Na)، (۳) پیروکسن‌های Na و (۴) دیگر پیروکسن‌ها (شکل ۴). در شکل ۴، پیروکسن‌های گردنه آهوان در گستره کلینوپیروکسن‌های آهن-منیزیم-کلسیم‌دار (Quad) قرار گرفته‌اند. برای رده‌بندی دقیق‌تر این کلینوپیروکسن‌ها، از نمودار سه‌تایی Wo-En-Fs استفاده شد [۱۳] (شکل ۴ ب). چنان‌که دیده می‌شود، بیشتر نمونه‌ها دارای ترکیب دیوپسید هستند.

**بررسی تغییرات ترکیبی کلینوپیروکسن‌ها**  
بررسی تغییرات ترکیب بلورهای کلینوپیروکسن با اندازه متوسط سنگ‌های بازالتی گردنه آهوان نشان می‌دهد که زون بینایین مرکز و حاشیه پیروکسن‌ها از Fe، Al و Ti تهی شده، در حالیکه از Ca، Mg و Si غنی شده است (شکل‌های ۵ الی ۷ ب). این الگوی توزیع عناصر با تزریق گامه‌های ماقمایی و حرکت همرفتی ماقما در مخزن ماقمایی قابل تفسیر است. همچنین، منطقه‌بندی موجود در این درشت‌بلورها از نوع معکوس است (شکل‌های ۵ الی ۷ ب). بنابر نظر دیبر و همکاران [۱۴] رون‌های غنی از Mg از یک ماقمای گوشته‌ای اولیه و در

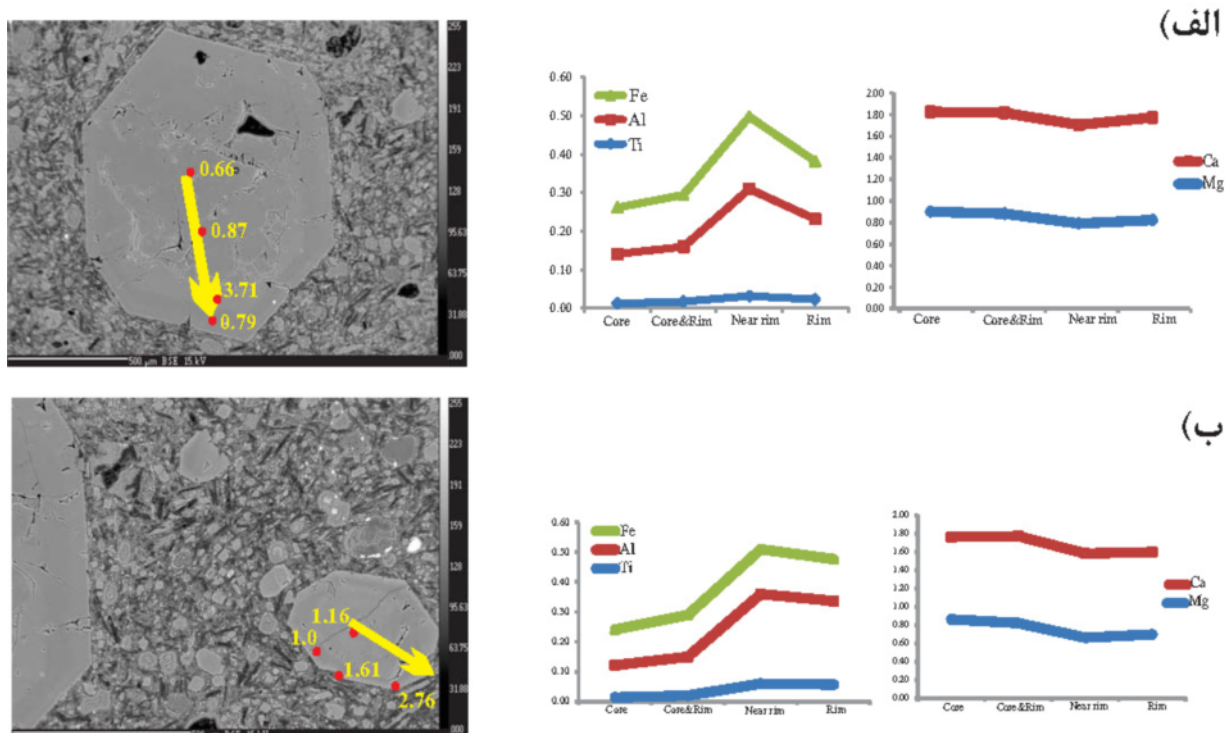
کلینوپیروکسن‌های موجود در بازالت‌های گردنه آهوان به صورت متosteبلور و ریزبلور دیده می‌شوند. بلورهای متوسط، فرصت بیشتری برای رشد در عمق زیاد و بلورهای ریز که زمینه سنگ را تشکیل می‌دهند، زمان کمتری برای رشد داشته‌اند [۱۲]. بر پایه نتایج تجزیه ریزپردازش انجام‌شده در این پژوهش، ترکیب شیمیایی کلینوپیروکسن‌های مورد بررسی FeO (۲/۲۱-۹/۰۴)،  $Al_2O_3$  (۲۲/۵۲-۴۳/۴۸)،  $SiO_2$  (۷/۵۵-۱۶/۶۳)،  $MgO$  (۰/۶۵-۲/۴۹)،  $TiO_2$  (۳/۹۱-۸/۶۷)،  $CaO$  (۰/۰۷-۰/۲۲)،  $MnO$  (۱۵/۲-۲۳/۷۸) و مقادیر کمتری  $Cr_2O_3$  (۰/۰۷-۰/۳۴) تشکیل شده است. پیروکسن از خانواده سیلیکات‌های تک زنگیرهای با فرمول  $M_1 M_2 T_2 O_6$  است که در جایگاه T کاتیون‌هایی چون  $Si^{4+}$  و  $Al^{3+}$  و به مقدار کمتر  $Fe^{3+}$  قرار می‌گیرند. در جایگاه T و  $M_2^{3+}$  و مازاد آهن سه ظرفیتی مصرف‌شده در جایگاه T نیز کاتیون‌هایی مانند  $Mn^{2+}$ ,  $Zr^{2+}$ ,  $Mg^{2+}$ ,  $Fe^{2+}$  و گاهی  $Zr^{4+}$ ,  $Cr^{3+}$ ,  $Ti^{3+}$ ,  $V^{3+}$ ,  $Sc^{3+}$ ,  $Ti^{3+}$  و  $Ca^{2+}$ ,  $Li^{1+}$ ,  $Mn^{2+}$ ,  $Fe^{2+}$ ,  $Mg^{2+}$  جایگزین می‌شوند.  $Na^{1+}$  اشغال می‌کند که مجموع آنها در حدود یک است.

سنگ‌های بازالتی گردنه آهوان زیاد نبوده و نشان‌دهنده تبلور آنها در یک مخزن ماقمایی و از گامه‌های ماقمایی با خاستگاه مشترک است.

دماهای بالا تبلور یافته‌اند، در حالیکه حاشیه‌های غنی از Fe در مرحله پس از یک ماقمای تفریق یافته‌تر تشکیل می‌شوند. این اختلاف عناصر در مرکز و حاشیه کلینوپیروکسن‌های موجود در



شکل ۴ (الف) رده‌بندی کلینوپیروکسن‌های موجود در بازالت‌های شمال شرق سمنان با استفاده از نمودار Q-J [۱۳]. (ب) نمایش ترکیب کلینوپیروکسن‌های شمال شرق سمنان با استفاده از نمودار En-Fs-Wo [۱۳]. چنان‌که دیده می‌شود کلینوپیروکسن‌های مورد بررسی در گسترده دیوپسید قرار می‌گیرند.



شکل ۵ تغییرات ترکیبی عناصر Fe, Al, Ca, Mg در بلورهای کلینوپیروکسن با اندازه متوسط در بازالت‌های گردنه آهوان. براساس این نمودارها، روند عناصر نام بردۀ در هر دو اندازه کلینوپیروکسن‌ها، وجود منطقه‌بندی نوسانی در آنها را تأیید می‌کند. اعداد روی تصاویر سمت چپ مقدار فشار محاسبه شده بر حسب کیلوبار را نشان می‌دهند.

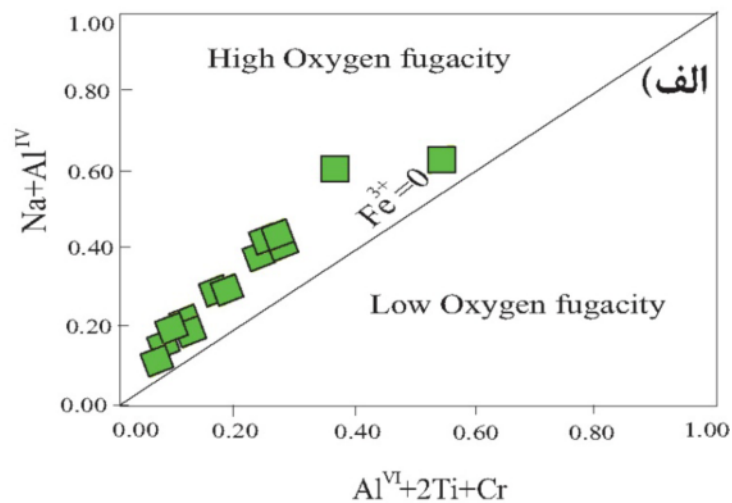
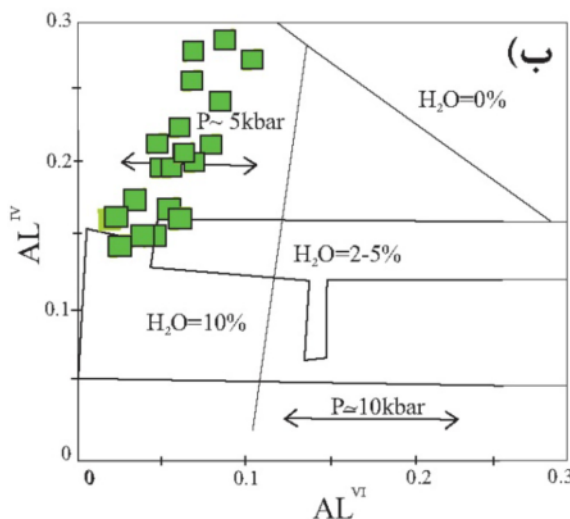
کانی‌ها از معادله‌های زمین دما- فشارسنجی استفاده می‌شود. در گذشته جهت برآورد دمای تشکیل کلینوپیروکسن‌ها از نمودارهای ترسیمی سه‌تایی لیندلسکی [۲۰] استفاده می‌شد که از دقت کافی برخوردار نبود. امروزه، برآورد دما و فشار با ارائه روابط ریاضی دما-فشارسنجی انجام می‌شود که از دقت بالاتری برخوردارند. این روابط که به دو دسته کلی معادلات زمین- دما- فشارسنجی و زمین- فشارسنجی تقسیم می‌شوند، توابعی از فشار، دما یا هر دو هستند که در نمودار دما- فشار بصورت یک خط راست یا منحنی قابل رسم هستند. پیروکسن به عنوان یک کانی ردیاب تعیین‌کننده شرایط فیزیکی (دما و فشار) ماجما در زمان تبلور آن است. بعضی از روش‌های دما- فشارسنجی در مورد کانی پیروکسن، بر پایه تعادل میان دو پیروکسن (ارتوبیروکسن- کلینوپیروکسن) هستند. این موضوع سبب محدودیت‌هایی در بکارگیری آنها می‌شود. در نمونه‌های بازالتی گردنه آهوان، کانی ارتوبیروکسن دیده نشده است. لذا به منظور بررسی‌های دما- فشارسنجی این نمونه‌ها، از دما- فشارسنج و فشارسنج‌های برپایه تک کانی کلینوپیروکسن استفاده شد. در ادامه نتایج برآورد دما و فشار تشکیل کلینوپیروکسن‌های سنگ‌های بازالتی گردنه آهوان با استفاده از روش‌های مختلف دما- فشارسنجی بیان می‌شود.

### گریزندگی اکسیژن

از آنجا که گریزندگی اکسیژن در کنترل فرایندهای ماجمایی و توالی تبلور و نوع کانی‌های تبلور یافته از ماجما نقش مؤثری دارد [۱۸-۱۵]، لازم است اثر آن نیز در تشکیل پیروکسن‌ها بررسی شود. برای تعیین فوگاسیته اکسیژن از نمودار  $\text{Na}+\text{Al}^{\text{IV}}/\text{Al}^{\text{VI}}+2\text{Ti}+\text{Cr}$  (شکل ۶ الف). این نمودار بر پایه موازنی  $\text{Al}$  موجود در جایگاه چهاروجهی و  $\text{Al}$  و  $\text{Cr}$  موجود در جایگاه هشت‌وجهی است. عنصر  $\text{Fe}$  در ترکیب پیروکسن‌ها می‌تواند جانشین عنصر سه ظرفیتی مانند  $\text{Al}$ ،  $\text{Cr}$  و  $\text{Ti}$  در جایگاه‌های هشت‌وجهی شود. هرچه میزان  $\text{Fe}^{3+}$  بیشتر باشد امکان ورود آن به جایگاه هشت‌وجهی سیستم بیشتر است. بنابراین، نمونه‌هایی که بالای خط  $\text{Na}+\text{Al}^{\text{IV}}/\text{Al}^{\text{VI}}+2\text{Ti}+\text{Cr}$  نسبت به  $\text{Fe}^{3+}=0$  قرار می‌گیرند، پیروکسن‌هایی هستند که در محیطی با گریزندگی اکسیژن بالا متبلور شده‌اند و نمونه‌هایی که در پایین این خط قرار می‌گیرند در گریزندگی اکسیژن کمتری تشکیل شده‌اند. چنانکه در شکل ۶ الف نشان داده شده است، تمرکز نمونه‌های مورد بررسی در بالای خط یادشده، گویای تبلور آنها در محیطی با گریزندگی اکسیژن بالاست (شکل ۶ الف).

### دما- فشارسنجی

در بررسی سنگ‌های آذرین، به منظور ارزیابی دما و فشار تبلور



شکل ۶ برآورد شرایط تبلور بازالت‌های گردنه آهوان برپایه ترکیب شیمیایی کلینوپیروکسن‌ها. الف) نمودار تغییرات  $\text{Al}^{\text{VI}}+2\text{Ti}+\text{Cr}$  نسبت به  $\text{Na}+\text{Al}^{\text{IV}}$  [۱۹] برای تعیین میزان گریزندگی اکسیژن در نمونه‌های مورد بررسی. ب) نمودار تغییرات  $\text{Al}^{\text{VI}}/\text{Al}^{\text{VI}}+2\text{Ti}+\text{Cr}$  نسبت به  $\text{Al}^{\text{VI}}+2\text{Ti}+\text{Cr}$  [۲۲] برای تعیین فشار محیط تشکیل سنگ. با توجه به این نمودارها، کلینوپیروکسن‌ها از یک ماجمای تقریباً بی‌آب، در گستره فشار ۱-۴ کیلوبار و در محیطی با گریزندگی اکسیژن بالا تشکیل شده‌اند.

بررسی از ۰۳ الی ۳۷ کیلوبار تغییر می‌کند (جدول‌های ۱ و ۲). استفاده از شاخص‌های XPT و YPT: به عنوان یکی از روش‌های برآورد دما و فشار براساس پیروکسن‌های موجود در گدازهای بازالتی پیشنهاد شده است [۲۳]. در این روش که دما و فشار به صورت ترسیمی نمایش داده می‌شوند، محورهای X و Y براساس دو شاخص XPT و YPT تعریف می‌شوند (شکل ۷). محاسبه شاخص‌های XPT و YPT به منظور تعیین موقعیت نقاط تجزیه روی نمودار، با استفاده از معادله زیر امکان پذیر است:

(۲)

$$\begin{aligned} \text{XPT} &= 0.446 \times \text{SiO}_2 + 0.187 \times \text{TiO}_2 - 0.404 \times \text{Al}_2\text{O}_3 + \\ &0.346 \times \text{FeO}^{(\text{tot})} - 0.052 \times \text{MnO} + 0.309 \times \text{MgO} + \\ &0.431 \times \text{CaO} - 0.446 \times \text{Na}_2\text{O} \\ \text{YPT} &= -0.369 \times \text{SiO}_2 + 0.535 \times \text{TiO}_2 - 0.317 \times \text{Al}_2\text{O}_3 + \\ &0.323 \times \text{FeO}^{(\text{tot})} + 0.235 \times \text{MnO} - 0.516 \times \text{MgO} \\ &0.167 \times \text{CaO} - 0.153 \times \text{Na}_2\text{O} \end{aligned}$$

با استفاده از مقادیر XPT و YPT محاسبه شده توسط معادله (۲)، میزان فشار تبلور کلینوپیروکسن در بازالت‌های گردنه آهوان در گستره کمتر از ۲ تا ۵ کیلوبار و دمای تشكیل آنها ۱۱۰-۱۱۷۰ درجه سانتی‌گراد بدست آمد (شکل ۷).

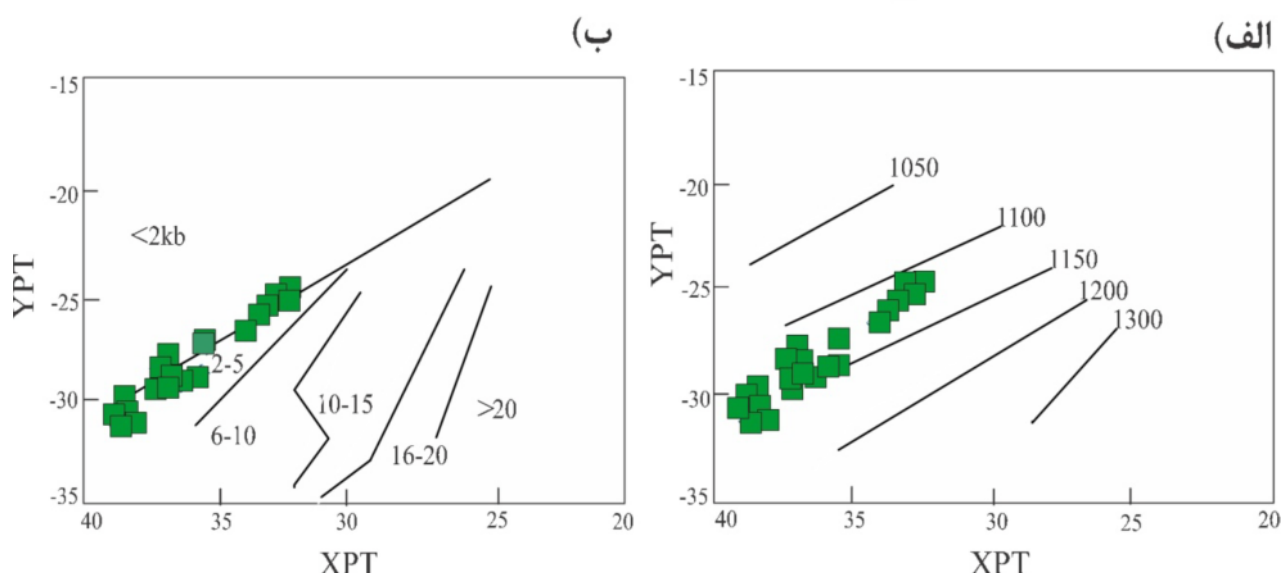
به اعتقاد لوباس [۲۱] نسبت  $\text{Al}^{\text{VI}}/\text{Al}^{\text{IV}}$  در پیروکسن‌ها را می‌توان برای تعیین فشار محیط تشكیل سنگ بکار گرفت. هlez [۲۲] نیز تأثیر همزمان دو عامل مقدار آب و فشار حاکم در عمق مختلف را در نظر گرفته و معتقد است که توزیع آلومینیم در جایگاه‌های چهاروجهی و هشتوجهی در کلینوپیروکسن‌ها، معیار مناسبی برای برآورد مقدار آب مگمای سازنده و فشار محیط تشكیل سنگ‌های آذرین پیروکسن‌دار است. چنانکه در شکل ۶ ب دیده می‌شود، کلینوپیروکسن‌های موجود در بازالت‌های گردنه آهوان از یک مگمای بازالتی با مقدار آب بین ۲ تا ۵ درصد و در گستره فشارکمتر از ۱ تا ۴ کیلوبار متبلور شده‌اند.

نیمیس [۱۱] معادله زیر را برای فشارسنجدی  $V_{\text{M1}}$  کلینوپیروکسن‌ها در مذاب‌های بی‌آب از مقادیر  $V_{\text{Cell}}$  و  $V_{\text{M2}}$  ارائه کرد که بر پایه واحدهای سلولی ساختمان کلینوپیروکسن بدست آمده است.

(۱)

$$\begin{aligned} P(\text{kbar}) &= 698.443 + 4.985 * \text{Al}^{\text{IV}} - 26.826 * \text{Fe}_{\text{M1}}^{2+} - \\ &3.764 * \text{Fe}^{3+} + 53.989 * \text{Al}^{\text{VI}} + 3.948 * \text{Ti} + 14.651 * \text{Cr} \\ &- 700.431 * \text{Ca} - 666.629 * \text{Na} - 682.848 * \text{Mg}_{\text{M2}} - \\ &691.138 * \text{Fe}_{\text{M2}}^{2+} - 688.384 * \text{Mn} - 6.267 * (\text{Mg}_{\text{M2}})^2 - \\ &4.144 * (\text{Fe}_{\text{M2}}^{2+}) \end{aligned}$$

براساس این روش، فشار تشكیل کلینوپیروکسن‌های مورد



شکل ۷ تعیین دما (الف) و فشار (ب) تبلور کلینوپیروکسن با استفاده از روش ارائه شده در مرجع [۲۳]. طبق این نمودار، کلینوپیروکسن‌های مورد بررسی در گستره دمایی ۱۱۰-۱۱۷۰ درجه سانتی‌گراد و در گستره فشار کمتر از ۲ تا ۵ کیلوبار متبلور شده‌اند.

این بلورها در مخزن ماقمایی کم عمق متبلور شده‌اند و حاشیه آنها طی تهنشنی و جدایش ثقلی تشکیل شده است. این موضوع بنا به چند دلیل بعید به نظر می‌رسد که عبارتنداز: (۱) اگرچه افزایش فشار باعث افزایش مقدار آهن و کاهش مقدار آلومینیوم موجود در ساختار پیروکسن‌ها می‌شود [۲۴]، چنان که در شکل ۵ دیده می‌شود، علاوه بر آهن، مقدار آلومینیوم نیز در نزدیک حاشیه بلورها افزایش یافته است. از این رو به نظر می‌رسد که فشار بخار آب باعث ایجاد منطقه‌بندی معکوس در تعدادی از پیروکسن‌ها شده است. (۲) وزن مخصوص ماقمایی بازالتی از پیروکسن‌ها شده است. (۳) وزن مخصوص ماقمایی دیوپسیدها از عمق ۳ کیلومتری به عمق ۸ کیلومتری شود. (۴) اندازه دیوپسیدهای موجود در سنگ‌های بازالتی بین ۰/۴۱ تا ۱/۲۵ متغیر است و سرعت رشد بلورهای کلینوپیروکسن ( $10^{-5} \text{ mms}^{-1}$ ) است. با توجه به رابطه  $Ci = Gt$  که  $Ci$  میانگین طول مجموع بلورها،  $G$  آهنگ رشد بلور و  $t$  مدت زمان رشد یا اقامت بلور در مخزن ماقمایی است [۲۵]، مدت زمان اقامت این دیوپسیدها در مخزن ماقمایی  $3 \times 10^4$  ثانیه است. بنابراین غیر ممکن به نظر می‌رسد که طی این مدت زمان، بلورهای پیروکسن توانسته باشند از عمق ۳ کیلومتری به عمق ۸ کیلومتری برسند.

با در نظر گرفتن موارد یادشده به نظر می‌رسد که منطقه‌بندی نوسانی دیوپسیدها و تغییر ترکیب شیمیایی (و در نتیجه فشار محاسبه شده) ناشی از افزایش مقدار آب ماقما بوده است. از طرف دیگر، برآوردهای فشار برای بلورهای کوچک نشان-دهنده تبلور آنها در قسمت‌های کم‌عمق مخزن ماقمایی اتفاق افتاد و دلیل متفاوتی دارد (جدول ۲). این بلورها یا فاقد منطقه‌بندی هستند یا زون‌های مختلف آنها فشارهای تشکیل یکسان نشان می‌دهند. بنابراین به نظر می‌رسد که پس از تبلور در آن مخزن، با تزریق گامه ماقمایی جدید، به سطح زمین فوران نموده‌اند.

### سری ماقمایی و محیط زمین‌ساختی

ترکیب کلینوپیروکسن‌ها به ترکیب شیمیایی و محیط تشکیل گذارهای میزان وابسته است، به همین دلیل این کانی کاربرد گسترده‌ای برای تشخیص محیط زمین‌ساختی تشکیل سنگ‌ها دارد. مشارکت عناصر Al، Ca، Ti، Si، Na در شبکه کلینوپیروکسن‌ها تا حد زیادی به میزان قلاییت ماقمایی مادر

براساس میزان فعالیت انسدادیت در کلینوپیروکسن و نیز توزیع الومینیوم بین کلینوپیروکسن-مذاب، می‌توان دما و فشار تبلور کلینوپیروکسن را با توجه به معادله زیر محاسبه کرد [۱۰]:

(۳)

$$T(K) = 93100 + 544P(\text{kbar})/61.1 + 36.6(X_{T_i}^{cpx}) + 10.9(X_{Fe}^{cpx}) - 0.95(X_{Al}^{cpx} + X_{Cr}^{cpx} - X_{Na}^{cpx} - X_k^{cpx}) + 0.395 [\ln(X_{En}^{cpx})]^2$$

در این معادله :

$$X_{Al}^{cpx} = X_{Al(IV)}^{cpx} + X_{Al(VI)}^{cpx}$$

$$a_{En}^{cpx} = (1 - X_{Ca}^{cpx} - X_{Na}^{cpx} - X_k^{cpx}) *$$

$$(1 - 0.5(X_{Al}^{cpx} + X_{Cr}^{cpx} + X_{Na}^{cpx} + X_k^{cpx}))$$

با استفاده از این معادله، دمای تشکیل تک کلینوپیروکسن، بدون دخالت ترکیب مذاب تعیین می‌شود. دمای تبلور کلینوپیروکسن‌های منطقه بنای معادله (۳) برابر با  $-123^{\circ}\text{C}$  درجه سانتی‌گراد محاسبه شد.

برپایه فشارهای محاسبه شده‌ای که در بالا برای تبلور کلینوپیروکسن‌های گردنه آهوان ارائه شد و همچنین نتایج تجزیه سنگ کل که توسط اعتمادی [۱] و محسنی [۲] برای بازالت‌ها انجام شده است، می‌توان دمای اشباعی ماقمایی مادر این کلینوپیروکسن‌ها را به کمک معادله زیر محاسبه کرد [۱۰]. این معادله دمای شروع تبلور کلینوپیروکسن در ماقما را نشان می‌دهد.

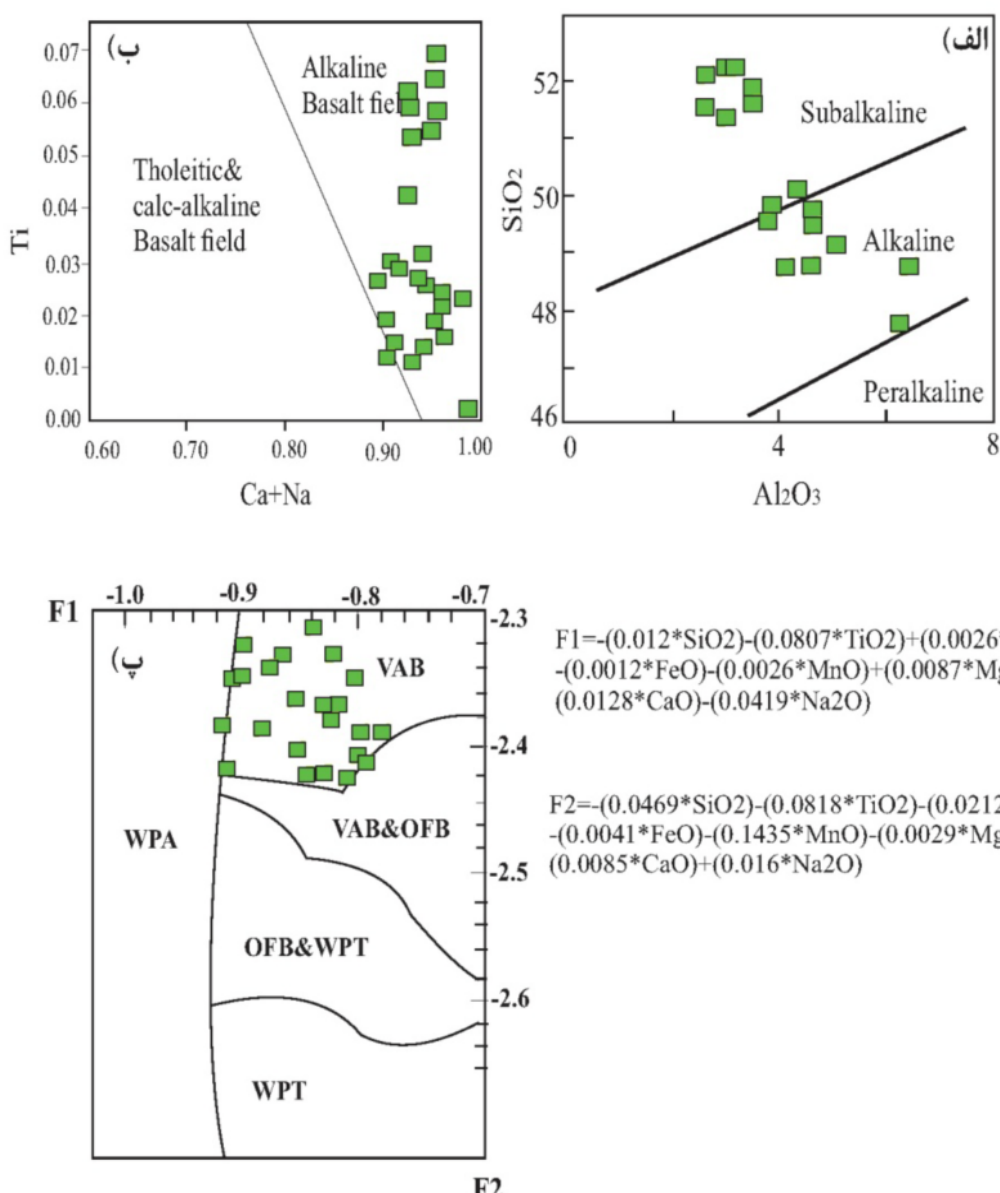
$$T(K) = 10^4 / 6.39 + 0.076(H_2O^{liq}) - 5.55(X_{CaO}^{liq} X_{SiO_2}^{liq}) - 0.398Ln(X_{MgO}^{liq}) - 0.046p(\text{kbar}) + 2.2 \times 10^{-4}[p(\text{kbar})]^2 \quad (4)$$

کاربرد معادله ۴ برای کلینوپیروکسن‌های موجود در سنگ‌های بازالتی گردنه آهوان نشان داد که دمای ماقمایی مادر هنگام هسته‌بندی این کانی، احتمالاً  $135^{\circ}\text{C}$  درجه سانتی‌گراد بوده است.

بررسی دما و فشار تشکیل بلورهای کلینوپیروکسن متوسط براساس منطقه‌بندی آنها از مرکز به حاشیه نشان می‌دهد که دما و فشار تبلور این کانی در بازالت‌های گردنه آهوان از هسته به سمت کناره بلور روند افزایش و کاهش منظمی را نشان نمی‌دهد (جدول ۱). از طرف دیگر، مرکزهای این درشت‌بلورها فشار حدود ۱ کیلوبار (معادل عمق ۳ کیلومتر) و زون‌های حاشیه یا نزدیک به حاشیه آنها فشار حدود ۲/۷ کیلوبار (معادل عمق ۸ کیلومتر) را نشان می‌دهند. شاید گمان شود که مرکز

یک کمان آتشفسانی پیشنهاد می‌شود (شکل ۸ پ). ماهیت قلیایی تا نیمه‌قلیایی، مقدار اندک Ti ( $0.003-0.071$ ) و غنی‌شدگی از عنصر Ca ( $0.88-0.98$ ) و Si ( $1.47-1.90$ ) در ترکیب شیمیایی کلینوپیروکسن‌های مورد بررسی از ویژگی پیروکسن‌های موجود در سنگ‌های بازالتی کمان‌های آتشفسانی است [۲۸] که با قرار گرفتن نمونه‌ها در گستره بازالت‌های کمان ماغمایی (VAB) در نمودار  $F_1$  و  $F_2$  (گرفته از مرجع [۲۷]) نیز سازگار است (شکل ۸ پ؛ جدول‌های ۱ و ۲).

بستگی دارد [۲۱، ۲۶]. برای تعیین محیط زمین‌ساختی تشکیل پیروکسن‌ها از نمودارهای  $SiO_2$ - $Al_2O_3$  [۲۱] و  $Ca+Na$ - $Ti$  نسبت به  $Al_2O_3$  استفاده شد (شکل ۸). با توجه به شکل ۸ الف ترکیب شیمیایی کلینوپیروکسن‌های مورد بررسی در گستره گستره‌های از قلیایی تا نیمه قلیایی تغییر می‌کند. همچنین، نمونه‌های مورد بررسی از عنصر Ca هستند و در نمودار  $Ca+Na$ - $Ti$  نسبت به  $Al_2O_3$  در گستره قلیایی قرار می‌گیرند (شکل ۸ ب). براساس نمودار  $F_1$  و  $F_2$  [۲۷] نیز، محیط زمین‌ساختی تشکیل کلینوپیروکسن‌های مورد بررسی،



شکل ۸ الف) تعیین سری ماغمایی با استفاده از نمودار تغییرات  $Al_2O_3-SiO_2$  [۲۱]. ب) نمودار تغییرات  $Ti-Ca+Na$  [۲۵]. پ) نمودار تعیین محیط زمین‌ساختی [۲۶]. براساس این نمودارها، پیروکسن‌های مورد بررسی از یک مagma آهکی‌قلیایی و در محیط کمان آتشفسانی متبلور

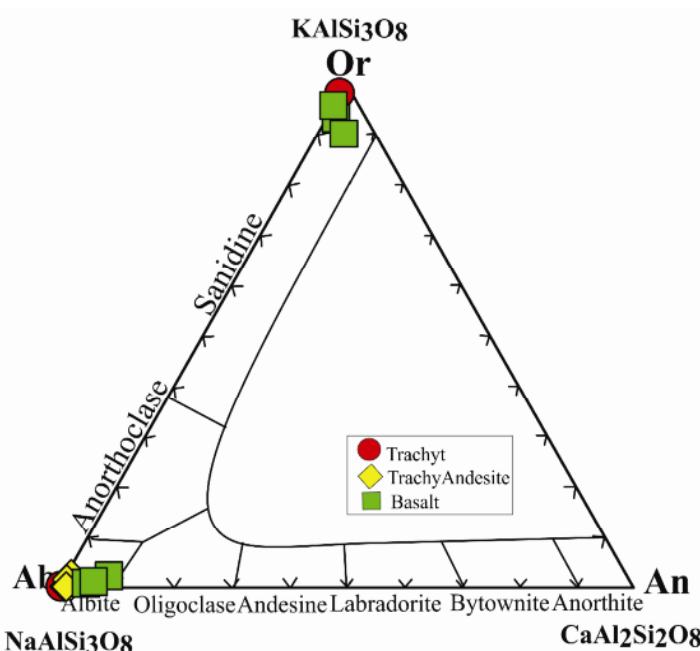
شده‌اند.

(شکل ۹). چنان که در تصاویر میکروسکوپ الکترونی دیده می‌شود، پلاژیوکلازهای منطقه مورد بررسی فقد منطقه‌بندی هستند و ترکیب آلبیتی دارند (جدول ۳ و شکل ۱۰).

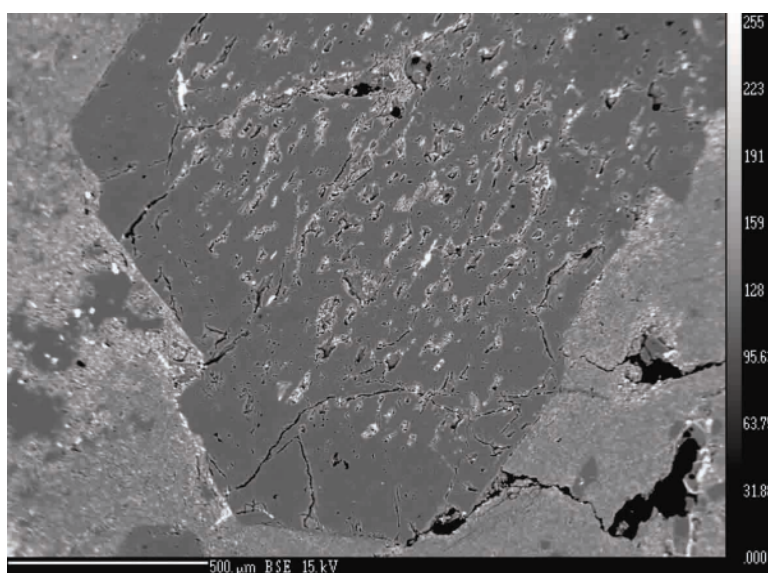
واحدهای سنگی شمال‌شرق سمنان دچار دگرسانی و متاسوماتیسم شدید شده‌اند. از نشانه‌های این متاسوماتیسم می‌توان به اسکارن‌زایی و تشکیل معدن آهن زرتول، معدن کائولن بیدستان و پهنه‌های دگرسانی سوسوریتی در منطقه اشاره کرد. بنابراین به نظر می‌رسد که سنگ‌های آتشفشنانی و نفوذی منطقه گردنه آهوان در امتداد پهنه‌های گسلی تحت تأثیر محلول‌های متاسوماتیسم (احتمالاً سدیمی-پتاسیمی) قرار گرفته‌اند. نفوذ این محلول‌ها باعث جانشینی سدیم بجای آلبیت تبدیل نموده است. همچنین این طی دگرسانی کانی‌های پیروکسن توسط اکتینولیت و سرپانتین جایگزین شده‌اند. بررسی‌های صحرایی نشان می‌دهد که منطقه در اثر عملکرد دو گسل عطاری و سمنان به شدت خرد شده است که ورود سیال‌های متاسوماتیسم کننده به درون سنگ‌های آدرین را تسهیل نموده و سبب متاسوماتیسم گسترده شده است. شواهد این دگرنهادی در سنگ‌های گابرویی منطقه واضح‌تر بوده و به صورت رگه-رگه‌های کوچک و پهنه‌های دگرسان شده قابل مشاهده است.

**فلدسپار** فلدسپارها بدون تردید فراوان‌ترین و گسترده‌ترین گروه کانی‌های موجود در پوسته زمین و سنگ‌های آدرین هستند و از نظر شکل و خواص فیزیکی رابطه نزدیکی با یکدیگر دارند. از نظر ساختاری، فلدسپارها در گروه آلومنوسیلیکات‌های داربستی قرار دارند که بر پایه یک شبکه پیوسته سه‌بعدی با آرایش چهاروجهی سیلیسیم و آلومنیویم استوارند. فلدسپارها مانند دیگر کانی‌ها به ندرت به صورت قطب‌های نهایی خالص یا بلورهای همگن از نظر شیمیایی حضور دارند [۲۹]. این کانی‌ها را می‌توان به دو گروه عمده فلدسپارپتاسیم و پلاژیوکلاز تقسیم کرد. پلاژیوکلازها از آلبیت با فرمول  $\text{NaAlSi}_3\text{O}_8$  تا آنورتیت با فرمول  $\text{CaAl}_2\text{Si}_2\text{O}_8$  در تغییر هستند. این کانی‌ها یک سری هم‌ریخت کامل را تشکیل می‌دهند. بلورهای آنها مخلوط بوده و یا محلول جامد پیوسته‌ای را بین دو قطب سدیم‌دار (آلبیت) و قطب کلسیم‌دار (آنورتیت) تشکیل می‌دهند. پلاژیوکلازها به عنوان کانی‌های سنگ‌ساز، نسبت به فلدسپار پتاسیم توزیع گسترده‌تری داشته و فراوان‌تر هستند [۳۰].

**نمودار سه‌تایی An-Ab-Or** [۳۱] برای فلدسپارهای مورد بررسی نشان می‌دهد که ترکیب فلدسپارهای موجود در نمونه‌های بازالتی و تراکیتی در گسترده آلبیت و ارتوز قرار دارند و فلدسپارهای موجود در سنگ‌های آندزیتی ترکیب آلبیتی دارند



شکل ۹ ترکیب فلدسپارهای تجزیه شده از سنگ‌های آتشفشنانی گردنه آهوان در نمودار سه‌تایی An-Ab-Or [۳۰].



شکل ۱۰ تصویر BSE از درشت بلورهای پلاژیوکلاز موجود در سنگ‌های آتش‌شانی گردنه آهوان. پلاژیوکلازها قادر منطقه‌بندی هستند و ترکیب بیشتر آنها آلبیتی است.

- بر پایه بررسی‌های دما-فشار‌سنجی، فشار بدست آمده برای تشکیل کلینوپیروکسن‌های موجود در بازالت‌های مورد بررسی در گستره ۱ کیلوبار و گستره دمایی ۱۱۱۰-۱۲۳۰ درجه سانتی‌گراد قرار دارد که معادل عمق ۳ کیلومتری زمین است.  
قدرتانی

نویسنده‌گان مقاله از معاونت محترم پژوهشی دانشگاه صنعتی شهرورد بخاطر حمایت‌های مادی و معنوی در انجام این پژوهش تشکر می‌نمایند.

#### مراجع

- [1] Etesami S., "Petrology of the Eocene volcanic rocks in the southern of Ahavan, E Semnan". M.Sc. Thesis, Research Institute for Earth Sciences, Geological Survey of Iran (2012) 143Pages.
- [2] Mohseni S., "Petrology, Geochemistry and mineralization potential of igneous rocks of NE Semnan", M.Sc. Thesis, Faculty of Earth Sciences, Kharazmi University (2002) 140Pages.
- [3] Shahosseni E., "Petrology, geochemistry and mineralization potential of igneous rocks of north and northeast of Semnan", M.Sc. Thesis, Faculty of Geosciences, Shahrood University OF Technology (2007) 165Pages.
- [4] Khorasani E., "Investigation of deformation of Mesozoic and Cenozoic rock units in northeast of Semnan (North of Ahavan)", M.Sc. Thesis, Faculty

#### برداشت

در منطقه گردنه آهوان در ۲۶ کیلومتری شمال شرق سمنان، طیف گسترده‌ای از سنگ‌های بازالتی، آندزیتی و تراکی آندزیتی ائوسن دیده می‌شود. این سنگ‌ها دارای بافت‌های پورفیری، هیالوپورفیری و گلومروپورفیری هستند. کلینوپیروکسن و پلاژیوکلاز، اصلی‌ترین کانی‌های موجود در بازالت‌های این منطقه هستند. مطالعه شیمی کلینوپیروکسن‌ها نشان داد که:

- ترکیب شیمیایی کلینوپیروکسن‌های بازالت‌ها از نوع دیوپسید است.

- بلورهای کلینوپیروکسن با اندازه متوسط، اگر چه دارای منطقه‌بندی معکوس هستند ولی اختلاف عناصر بین هسته و کناره زیاد نیست و نشان‌دهنده تبلور کلینوپیروکسن‌ها در یک مخزن ماقمایی است.

- زون بینابین مرکز و حاشیه کلینوپیروکسن‌ها، از Al و Fe و Ti تهی شده و از Mg و Ca غنی شده است که این الگوی توزیع عناصر با تزریق گامه‌های ماقمایی و حرکت همرفتی ماقما در مخزن ماقمایی قابل تفسیر است.

- کلینوپیروکسن‌های مورد بررسی از یک ماقمای مادر با ترکیب قلیایی تا نیمه قلیایی و دارای ۲ تا ۵ درصد آب و گریزندگی اکسیژن بالا متبلور شده‌اند.

- [17] Moretti R., "Polymerisation, basicity, oxidation state and their role in ionic modelling of silicate melts", *Annals of Geophysics* (2005).
- [18] Botcharnikov R. E., Koepke J., Holtz F., McCammon, C., Wilke M., *The effect of water activity on the oxidation and structural state oxidation of Fe in a ferro-basaltic melt*, *Geochimica Cosmochimica Acta* 69 (2005) 5071–5085.
- [19] Schweitzer E. L., Papike J. J., Bence A. E., "Statistical analysis of clinopyroxenes from deep-sea basalts", *American Mineralogist* 64 (1979) 501-513.
- [20] Lindsley D.H., *Pyroxene thermometry*, *American Mineralogist*, 68 (1983) 477-493.
- [21] Le Base M. J., *The role of aluminum in igneous clinopyroxenes with relation to their Parentage*, *American Journal of Science* 260 (1962) 267-288.
- [22] Helz R. T., *Phase relations of basalts in their melting range at PH<sub>2</sub>O= 5 kb as a function of oxygen fugacity*, *Journal of Petrology* 17 (1973) 139-193.
- [23] Soesoo A., *A multivariate statistical analysis of clinopyroxene composition: empirical coordinates for the crystallisation PT-estimations*, *Geological Society of Sweden (Geologiska Foreningen)* 119 (1997) 55-60.
- [24] Baker D. R., David H. E *Compositions of anhydrous and hydrous melts coexisting with plagioclase, augite, and olivine or low-Ca pyroxene from 1 atm to 8 kbar: Application to the Aleutian volcanic center of Atka*, *American Mineralogist* 72 (1987) 12-28.
- [25] Higgins M. D., Roberge J., "Three magmatic components in the 1973 eruption of Eldfell volcano, Iceland: Evidence from plagioclase crystal size distribution (CSD) and geochemistry", *Journal of Volcanology and Geothermal Research* 161 (2007) 247-260.
- [26] Leterrier J., Maury R. C., Thonon P., Girard of Geosciences, Shahrood University OF Technology (2014) 166Pages.
- [5] Sadeghian M., Mirbagheri S.R., "Narkan Geological Quadrangle Map 1:25000", Geological Survey of Iran, Tehran (2012).
- [6] Papazzoni C.A., Sirotti A., *Nummulite biostratigraphy at the Middle/Upper Eocene boundary in the Northern Mediterranean area*, *Rivista Italiana di Paleontologiae Stratigrafia* 101 (1995) 63-80.
- [7] Nabavi M.H., "Semnan Geological Quadrangle Map 1:100000", Geological Survey of Iran, Tehran (1987).
- [8] Alavui-Nahini M., Hammedi A.R., "Jam Geological Quadrangle Map 1:100000", Geological Survey of Iran, Tehran (1997).
- [9] Kretz R., "Symbols for rock-forming minerals", *American Mineralogist*, 68 (1983) 277-279.
- [10] Putirka K. D., "Thermometers and barometers for volcanic systems", *Reviews in Mineralogy and Geochemistry*, 69 (2008) 61-120.
- [11] Nimis P., *A clinopyroxene geobarometer for basaltic systems based on crystals-structure modeling*, *Contribution to Mineralogy and Petrology* 121 (1995) 115-125.
- [12] Shelley D., *Igneous and Metamorphic rocks under the microscope*, Chapman and hall (1993) 445.
- [13] Morimoto N., *Nomenclature of pyroxenes*, *Fortschr mineral* 66 (1988) 237-252.
- [14] Deer W. A., Howie R. A., Zussman J., *Single-chain silicates (Vol. 2)*, London: Longman (1978).
- [15] Kress V. C., Carmichael I. S. E., *The compressibility of silicate liquids containing Fe<sub>2</sub>O<sub>3</sub> and the effect of composition, temperature, oxygen fugacity and pressure on their redox states. Contrib. Mineral*, Petrol. 108 (1991) 82–92.
- [16] Kilinc A., Carmichael I. S. E., Rivers M. L., Sack R. O., "The ferric-ferrous ratio of natural silicate liquids equilibrated in air", *Contrib. Mineral. Petrol.* 83 (1983) 136–140.

- Geology, 77 (1989) 165-182.
- [29] Blatt H., Tracy R., Owens B., "Petrology: igneous, sedimentary and metamorphic", Macmillan (2006).
- [30] Mullaei H., "Mineralogy Atlas, Sokhan Gostar and Research Deputy of Islamic Azad University of Mashhad Publishing", (2006) 352 Pages.
- [31] Deer W.A., Howie A., Zussman J., *An interdution to the rock – formingminerals*, 17th ed., (1986 ) Longman Ltd, 528P.
- D., Marchal M., "Clinopyroxene composition as a method of identification of the magmatic affinities of paleo-volcanic series", Earth and Planetary Science Letters 59 (1982) 139-154.
- [27] Nisbet E. G., Pearce J.A., "Clinopyroxene composition in mafic lavas from different tectonic settings", Contributions to Mineralogy and Petrology 63 (1977) 149–160.
- [28] Beccaluva L., Macchiotta G., Piccardo G. B. Zeda O., "Clinopyroxene composition of ophiolite basalts as petrogenetic indicator", Chemical